

Valentin.

①

- Plan :
- I. Représentations des groupes finis
Cas du groupe symétrique
 - II. Approche duale : fonctions "polynomiales" sur les diagramme de Young
 - III. Combinatoire des caractères normalisés et cartes
 - IV. Application : grands diagrammes aléatoires
-

(I) Représentation des gps finis

1] Définition et exemple

Dif : Soit G un groupe fini

Une représentation de G est un couple (ρ, V) où

- V est un \mathbb{C} -espace vectoriel de dimension finie
- $\rho : G \rightarrow \text{GL}(V)$ est un morphisme de groupes.

Ex : G un gpe quelconque.

$$V = \mathbb{C}, \quad \rho(g) = \text{id}$$

: représentation triviale.

• G un gpe quelconque

$$V = \mathbb{C}[G], \quad \text{base } (e_g)_{g \in G}$$

: représentation régulièrie gauche

$$\rho(g) \cdot e_{g'} = e_{g \cdot g'}$$

• $G = S_m$

$$V = \mathbb{C}^m \quad \text{base } (e_1, \dots, e_m)$$

: représentation géométrique
de S_m

$$\rho(\sigma) \cdot e_i = e_{\sigma(i)}$$

(à droite σ , on trouve sa matrice de permutation)

• $G = S_m$

$$V = \bigoplus_{d=1}^m \mathbb{C}[x_1, \dots, x_m] \quad (\deg \leq d)$$

$$\rho(\sigma) \cdot (x_i) = x_{\sigma(i)} \quad (\text{morphisme d'algèbre restreint aux degrés } \leq d)$$

Avec $G = S_n$, plein d'exemples naturels

Motivation venant de la physique théorique.

Rq : Si (V, ρ) et (V', ρ') sont des rep. du m^e gpe G , alors

$$\cdot (V \oplus V', \rho \oplus \rho') \text{ est une rep. de } G$$

$$(\rho \oplus \rho')(g) \cdot (\sigma, \sigma') = (\rho(g) \cdot \sigma, \rho'(g) \cdot \sigma')$$

• produits tensoriels

• $(\text{Hom}(V, V'), \text{Hom}(\rho, \rho'))$ est une rep. de G

Pour $f: V \rightarrow V'$ et $g \in G$

$$\text{Hom}(\rho, \rho')(g) \cdot f = \rho'(g^{-1}) \circ f \circ \rho(g)$$

2) Représentations irréductibles

Question: G est fixé. On veut "décrire" les représentat°s de G , à isomorphisme près.

déf: Morphisme de représentat°s

(V, ρ) et (V', ρ') deux rep. de G

$\varphi: V \rightarrow V'$ est un G -morphisme si

$$\forall g \in G, \forall v \in V \quad \varphi(\rho(g) \cdot v) = \rho'(g) \cdot \varphi(v)$$

$$\text{i.e. } \varphi \circ \rho(g) = \rho'(g) \circ \varphi.$$

2] → On dénit des rep. qui ne se décomposent pas comme somme de rep.

Déf: Une représentation (V, ρ) est irréductible si elle ne peut pas s'écrire $(V_1, \rho_1) \oplus (V_2, \rho_2)$ avec $V_1 \neq \{0\}$ et $V_2 \neq \{0\}$

Rq: Si une représentat° est réductible (ie n'est pas irréductible) alors elle a un sous-espace $V_1 (\neq \{0\}, V)$ stable par tous les $\rho(g)$. et V_2 aussi (on dit juste stable)

Thm [Maschke]: C'est une équivalence, i.e.

Une rep. est irréductible si et elle n'a pas de sous-espace stable, hormis $\{0\}$ et V .

Pf: La preuve repose de façon cruciale sur le fait que G est fini.

Prop Si $\varphi: (V, \rho) \rightarrow (V', \rho')$ est un morphisme, alors

• $\text{Im } (\varphi) \subseteq V'$ et $\text{Ker } (\varphi) \subseteq V$ sont des G -espaces stables

• Si $(V, \rho) = (V', \rho')$, alors tous les sous-espaces propres de φ sont stables

$$(\varphi(u) = du, \varphi(\rho(g)u)) = \rho'(g)(\varphi(u)) = \rho'(g)(du) = L \rho(g)u : \varphi(u) = du$$

Cog: Lemme de Schur

Si il y a peu de choix pour les morphismes entre deux irred.

Lemma de Schur : Si V et V' sont irréductibles, et (3)

$\varphi : V \rightarrow V'$ est un morphisme alors

- Soit V et V' sont isomorphes, soit $\varphi = 0$
- Si $V = V'$, alors $\varphi = c \cdot \text{id}$ pour un certain $c \in \mathbb{C}$.
(utilise que l'on travaille sur \mathbb{C} ou \mathbb{H} corps algébriquement clos).

$$\dim \text{Hom}_G(V, V') = \begin{cases} 1 & \text{if } V \cong V' \\ 0 & \text{otherwise} \end{cases}$$

Rq : $\text{Hom}_G(V, V')$ et $\text{Hom}(V, V')$ et $\text{Hom}(V, V')^G$ ne sont pas la même chose !!

\uparrow \uparrow \uparrow
 env. des G -morphismes applic^{es} linéaires les élts de la rep. $\text{Hom}(V, V')$
 $q: V \rightarrow V'$ de V ds V' . qui sont fixes par $\forall g \in G$.

Caracteres

Déf Le caractère χ^e de (V, e) est $\chi^e : G \rightarrow \mathbb{C}$

$$g \mapsto \underbrace{\text{tr}(e(g))}_{\substack{\uparrow \\ \text{trace} \\ \text{matrice.}}}$$

Ex: rep. triviale : $\chi^{\text{tr}} = 1$

$$\text{rep. géom : } X^{\text{geom}}(\sigma) = \text{tr}(\text{Mat}(\sigma)) = \# \text{ pts fixes de } \sigma$$

$$\text{rep. régulière : } \chi^{\text{reg}}(g) = \text{nb de } g' \text{ tq } gg' = g'$$

$$\text{Prop.: } \chi^{\text{eot}'} = \chi^p + \chi^{e'} = \begin{cases} |G| & \text{if } g = \text{ett neutrino} \\ 0 & \text{otherwise} \end{cases}$$

$$R_1: \quad x^p(h^{-1}gh) = x^p(g) \quad \forall g, h \in G.$$

Car $\rho(h^*g h) = \rho(h)^{-1}\rho(g)\rho(h)$ donc conjugué avec $\rho(g)$ donc ont la m^e trace.

Déf : Fonction centrale = qui est constante sur toutes les classes de conjugaison (de G).

ex : x^e

[*] Thm : Les $(x^e)_e$ irréductibles forment une base orthonormée de \mathcal{L} des fct^\circledast centrées.

de des fd's centrales sur $f(g)$,
 sur les fd's de G ds C , mais on le regarde
 surtout sur les fd's centrales,
 sur quoi ce produit scalaire est-il défini ?

Consequences

4

- Le nb de irrég. (\equiv rep. irred.) est le nb de classes de conjugaison du gpe G . donc $< \infty$.
 - Tte rep. V peut s'écrire où $V = V_1^{m_1} \oplus V_2^{m_2} \oplus \dots \oplus V_r^{m_r}$ où les V_i sont irred. et V_i n'est pas isomorphe à V_j .
On ne sait pas a priori si cette écriture est unique. (oui et non)
Le thm donne plus de résultats.

$$x^v = m_1 x^{v_1} + \dots + m_n x^{v_n}$$

Donc $m_i = \langle x^v, x^{v_i} \rangle$. Les m_i sont uniques !

4 Les multiplicités sont uniques, mais pas la décomposition
 $v_1^{m_1} \oplus \dots \oplus v_r^{m_r}$ en tant que sous-espaces.

$$\langle x^v, x^v \rangle = \sum m_i^2$$

$$\text{Ex: } \langle \chi_{\text{geom}}, \chi_{\text{geom}} \rangle = \frac{1}{n!} \sum_{\sigma \in S_n} \# \text{pts fixes } (\sigma) \cdot \# \text{ pts fixes } (\sigma')$$

$$k^3 = MFP(m,1) + 2MFP(m,2)$$

$$\left[k^2 = f_k + 2 \binom{f_k}{2} \right] = \frac{1}{n!} \sum_{\sigma \in S_n} (\# \text{ pts fixes } (\sigma))$$

(1a)

$$= m \cdot (m-1)! + 2 \binom{m}{2} (m-2)! \quad \text{done}$$

Donc V^{geom} est la somme de deux rep. impr. non isomorphes.

$$\sum x_i e_i = \delta(e_1 + \dots + e_n)$$

$$+ \sum y_i e_i$$

Il suffit de retrancher $\frac{1}{n} \sum_{i=1}^n x_i$

a set of wolf yips

$\alpha_{\text{reg}}^{\text{Vi}}$ α_{reg}

$$= \langle x^v_i, x^{v_j} \rangle = \frac{1}{|G|} \sum_{g \in G} x^{vg}$$

$$= \frac{1}{|G|} \cdot |G| \cdot x^{v_i}(e) = \dim(V_i)$$

$$\mathbb{C}[G] \cong \bigoplus V_i^{\dim(V_i)}$$

- Deux repr. qui ont le m^e caractères ont les m^e multiplicités donc
Prop: $X^{\rho} = X^{\rho'} \Rightarrow \rho \cong \rho' \quad (\rho \text{ est isomorphe à } \rho')$
(Rq: \Leftarrow est évidente)

Rappel : rep = morphisme de G ds $GL(V)$

rep irred : tp si $V_\rho \subseteq V$ est stable par tous les $\rho(g)$,
alors $V_\rho = \{0\}$ ou V .

Il y a un nb fini de irrep. (pr G fini) = # classes de conjugaison de G
Caractère : $\chi^\rho(g) = \text{tr}(\rho(g))$

On va prendre (maintenant) $G = S_n$.

Questions : . définir les rep. irred.
. calculer les caractères.

On répond à la 1^e question en utilisant le Symétriseur de Young.

Prop : $\mathbb{C}[G] = \bigoplus_{\rho \text{ irred}} V_\rho^{\dim(V_\rho)}$

En particulier, tte irred ρ correspond à un \mathbb{C} -espace stable de $\mathbb{C}[G]$.

Fixons une irrep.

$$\boxed{\mathbb{C}[G] = V_\rho \oplus \dots} \quad (\text{m si cette écriture n'est pas unique})$$

On considère Φ_ρ le projecteur sur V_ρ .

TODO $\Rightarrow \Phi_\rho$ est un G -morphisme. i.e. $\Phi_\rho \circ \rho(g) = \rho(g) \circ \Phi_\rho \quad \forall g \in G$
 $\Phi_\rho \in \text{Hom}_G(\mathbb{C}[G], \mathbb{C}[G])$

Description de $\text{Hom}_G(\mathbb{C}[G], \mathbb{C}[G])$:

. gros sous-espace : pour $g \in G$, on définit $r_g : e_g \mapsto e_{gg}$
 r_g est une multiplication à droite, donc commute avec toutes les multiplications à gauche, et donc avec tous les $\rho(g)$.

Donc $\forall g \in G$, $r_g \in \text{Hom}_G(\mathbb{C}[G], \mathbb{C}[G])$

donc $\dim(\text{Hom}_G(\mathbb{C}[G], \mathbb{C}[G])) \geq |G|$.

. $\dim(\text{Hom}_G(\mathbb{C}[G], \mathbb{C}[G])) \leq \langle \chi^{rg}, \chi^{rg} \rangle$ pourquoi?
 $= |G|$

Prop : $\text{Hom}_G(\mathbb{C}[G], \mathbb{C}[G]) = \text{Vect}\{r_g, g \in G\}$
 $= \{r_x, x \in \mathbb{C}[G]\}$

Ainsi : $\Phi_\rho = r_{p_\rho}$ où $p_\rho \in \mathbb{C}[G]$.

Rappel: $\varphi^2 = \varphi$. Donc $P\varphi^2 = P\varphi$.
(car $P\varphi$ est un projecteur)

Conclusion: Les repr irreduct de G peuvent être construites sous la forme $C[G]P\varphi$ où $P\varphi \in C[G]$ t.q. $P\varphi^2 = P\varphi$

↑ $P\varphi$ n'est pas unique! ($\text{Im}(P\varphi) = V_\varphi$) mais il est p.tq $P\varphi^2 \neq P\varphi$ ne convient pas!
(mais il est déterminé quand le ls-espace stable V_φ est fixé).

On se place maintenant dans $G = S_n$.

Rappel: #irrep = # classes de conjugaison $\xrightarrow{\text{caractérisée par les longueurs des cycles}}$
= # partitions de n .

Dans le cas (très particulier) du gpe symétrique, on peut associer une irrep à une partition de façon canonique.

Les repr. ^{irred.} ($\text{notées } V_d$) sont indexées par les partitions d de n (et c'est canonique, pour le gpe symétrique).

On fixe $d + n$.

On va a) \rightarrow définir un $p_d \in C[S_n]$

b) \rightarrow montrer que $p_d^2 = p_d$

c) \rightarrow montrer que $C[S_n]p_d$ est irréductible.

d) \rightarrow montrer que si $d \neq \mu$ alors $C[S_n]p_d$ et $C[S_n]p_\mu$ sont non-isomorphes.

a) Choisir un remplissage de d (i.e un tableau de forme d , avec aucune contrainte de croissance)
 $\xrightarrow{(T)}$

$$T = \begin{array}{|c|c|} \hline 1 & 2 \\ \hline 2 & 4 \\ \hline 3 & 4 \\ \hline 5 & 5 \\ \hline \end{array}$$

pour $d_{\text{ex}} = (3, 2)$ (notre exemple partout).

dépendent
de T

$$\left\{ \begin{array}{l} \cdot a_d = \sum_{\sigma \in RS(T)} \sigma \\ \quad \text{permutations qui préserment les lignes du tableau} \\ \cdot b_d = \sum_{\sigma \in CS(T)} \varepsilon(\sigma) \sigma \\ \quad \text{signature} \end{array} \right.$$

Rq : $p_d \circ p_d = \alpha_g p_d$ pour $\alpha_g \in \mathbb{C}$ (8)
 (car vérifie *) $\sigma(p_d \circ p_d) = \sigma(\alpha_g p_d) = \alpha_g p_d$
 $p_d \circ p_d z = p_d \circ \sum_{\sigma \in S_n} \alpha_\sigma (\sigma \circ p_d) z = p_d \circ p_d$

c) Lemme : $\mathbb{C}[S_n]_{p_d}$ est irréductible. Noté : $V_d = \mathbb{C}[S_n]_{p_d}$

Preuve : Soit W un sous-espace stable de V_d .

Alors W s'écrit $W = \mathbb{C}[S_n]_{p_W}$ pour un certain $p_W \in \mathbb{C}[S_n]$
 (car W est lui aussi un sous-espace stable de $\mathbb{C}[S_n]$) ↑? $t \circ p_W^2 = p_W$.

$W \subseteq V_d$. Donc $p_W = \alpha_w p_d$ pour $\alpha_w \in \mathbb{C}[S_n]$.

On regarde $p_d \cdot p_W$

$p_d \cdot p_W = p_d \alpha_w p_d = \alpha_w p_d$ avec $\alpha_w \in \mathbb{C}$ par la qd ci-dessus

* Si $\alpha_w = 0$, $\alpha_w p_d p_W = 0$ et donc $W = \{0\}$.

$$p_W = p_W^2$$

* Si $\alpha_w \neq 0$, $p_d \in W$ car $p_d = \frac{1}{\alpha_w} p_d \cdot p_W$

(comme W est stable, $\rho(\sigma) p_d \in W \quad \forall \sigma \in S_n$)

$$\rho(\sigma) \cdot p_d = \sigma \cdot p_d ?$$

donc $\mathbb{C}[S_n]_{p_d} \subseteq W$.

à suivre

d) Lemme : V_d et V_{p_d} sont non-isomorphes.

Preuve : (on saute)

Cd : On a construit toutes les irrep. de S_n .

On peut utiliser cette construction pour calculer les caractères.

Ceci est une méthode alternative au calcul des caractères.

La méthode classique est la formule de Frobenius (liée aux ft^σ symétriques)

La méthode qu'on verra la semaine prochaine consiste à calculer la trace de $\rho(\sigma)$ sur V_d .

Le facteur est difficile à calculer pr des groupes généraux

Rq / Ex : d : $a_d = \sum_{\sigma \in S_n} \sigma$ $b_d = \text{id}$ $p_d = \frac{1}{n!} \sum_{\sigma \in S_n} \sigma$

$\mathbb{C}[S_n]_{p_d} = \{p_d \rightarrow \text{espace de dim } 1$

$\sigma \in S_n \quad \sigma \cdot p_d = p_d \rightarrow \text{action triviale}$

Ex : $\begin{smallmatrix} \square & \square & \square \\ \square & \square & \square \end{smallmatrix} \rightarrow$ act° triviale

$\begin{smallmatrix} \square & \square & \square \\ \square & \square & \square \end{smallmatrix} \rightarrow$ la signature

$\begin{smallmatrix} \square & \square & \square & \square \\ \square & \square & \square & \square \end{smallmatrix} \rightarrow$ géométrique \ triviale. ($\dim^{\circ} = n-1$).

Prop : La symétrie par rapport à \diagdown ajoute une signature.

PEC. 26/10/12 (dans cette séance $\mathfrak{S}^{\circ} = \mathfrak{SO}^{\circ}$)

Rappel : Construction des rep. du groupe symétrique $G = S_n$.

Soit $d \vdash n$. On choisit T un remplissage (arbitraire) de d .

Ex : $\begin{smallmatrix} 4 & 2 \\ 3 & 1 & 5 \end{smallmatrix}$

$$a_d = \sum_{\sigma \in RS(T)} \sigma$$

$$b_d = \sum_{z \in CS(T)} \varepsilon(z) \cdot z$$

$$p_d \in \mathbb{C}[S_n]$$

$$p_d = p_d^2$$

On a vu que $\exists \alpha_d \in \mathbb{C}^*$ tq $p_d = \alpha_d a_d b_d$ est un projecteur

$$V_d \cong \boxed{\mathbb{C}[S_n] p_d}$$

qui est stable pour la rep. régulière (\cong multiplicatif à gde)

V_d est une rep : $\rho(\sigma) \cdot (\alpha p_d) = \sigma \cdot \alpha \cdot p_d$

Thm : V_d est une rep. irréductible.

Rq : V_d dépend du remplissage T de d , mais en changeant T

on obtient un "autre" V_d qui est isomorphe à V_d

Thm : Si $d \neq \mu$, V_d et V_μ sont non-isomorphes.

Objectif du jour : Calcul des caractères χ^d ie

$$\text{de } \boxed{\chi^d(\pi) = \text{tr}_{V_d}(\rho(\pi))}$$

$$\boxed{\begin{array}{l} d \vdash n \\ \pi \in S_n \end{array}}$$

1^e difficulté : trouver une base de $\mathbb{C}[S_n] p_d$.

$\mathbb{C}[S_n] p_d$ est engendré par $\sigma \cdot p_d$ mais ces $\sigma \cdot p_d$ ne sont pas indépendants.

(A) Une première formule pour les caractères

$$\text{Déf : } \Phi_{d,\pi} : \mathbb{C}[S_n] \rightarrow \mathbb{C}[S_n]$$

$$x \mapsto \pi \cdot x \cdot p_d$$

$$\underline{\text{Lemme}} \quad \text{tr}_{\mathbb{C}[S_n]}(\Phi_{d,\pi}) = \text{tr}_{V_d}(\rho(\pi))$$

1- neutre de $\mathbb{C}[S_n]$ par
la multiplication.

$$\underline{\text{Preuve}} : \mathbb{C}[S_n] = \mathbb{C}[S_n] \cdot p_d \oplus \mathbb{C}[S_n] \cdot (1-p_d)$$

(car p_d est un projecteur)

$$\Phi_{d,\pi} |_{\mathbb{C}[S_n] \cdot p_d} = \rho(\pi) \quad (\text{car } p_d = p_d^2)$$

$$\Phi_{d,\pi} |_{\mathbb{C}[S_n] \cdot (1-p_d)} = 0$$

$$\text{car } \Phi_{d,\pi}(x \cdot (1-p_d)) = \pi \cdot x \cdot (1-p_d) \cdot p_d$$

$$= \pi \cdot x \cdot p_d = \pi x p_d p_d = 0 \neq x$$

$$\text{Donc } \text{tr}(\Phi_{d,\pi}) = \text{tr}(\rho(\pi)).$$

Calcul de $\chi^d(\pi)$: (avec le lemme : dans $\mathbb{C}[S_n]$, dont on a une base)

$$\chi^d(\pi) = \text{tr}(\Phi_{d,\pi})$$

$$= \alpha_d \sum_{\sigma \in RS(T)} \sum_{z \in CS(T)} \varepsilon(z) \text{tr}(x \mapsto \pi \cdot x \cdot \sigma \cdot z)$$

permet la base
(eg) de $\mathbb{C}[S_n]$
 $\pi \cdot g = e_{\pi \cdot g}$

matrice de dim^o
 $m! \times m!$,
qui est une matrice de peti-

$$= \alpha_d \sum_{\sigma \in RS(T)} \sum_{z \in CS(T)} \varepsilon(z) (\# \text{pts fixes de } x \mapsto \pi \cdot x \cdot \sigma \cdot z)$$

$$= \alpha_d \sum_{\sigma} \sum_z \varepsilon(z) \sum_{g \in S_n} \underbrace{S_{g = \pi \cdot g \cdot \sigma \cdot z}}_{\text{if } g = \pi \cdot g \cdot \sigma \cdot z \text{ then } 1, \text{ otherwise } 0}$$

$$g = \pi g \sigma z \Leftrightarrow g\sigma^{-1}\sigma^{-1}g^{-1} = \pi \quad (\Rightarrow) \quad \pi = \underbrace{g\sigma^{-1}(g\sigma)}_{\sigma'} \underbrace{(g\sigma^{-1}g^{-1})}_{\sigma''} \underbrace{g^{-1}}_{\pi'}$$

$$\text{Ex: } \sigma = \sigma^{-1} = (1, 2) \in CS(T)$$

$$g\sigma^{-1}g^{-1} = (g(1) g(2)) \in CS(g(T))$$

$$\text{Rq : } \begin{cases} \sigma \in CS(T) \\ z \in RS(T) \end{cases} \Rightarrow \begin{cases} \sigma^{-1} \in CS(T) \\ \sigma^{-1} \in RS(T) \end{cases}$$

$$\text{Donc } \frac{\chi^d(\pi)}{\alpha_d} = \sum_{\sigma \in S_n} \sum_{\sigma' \in \text{RS}(g(\pi))} \sum_{\tau' \in \text{CS}(g(\pi))} \epsilon(\tau') \delta_{\pi=\sigma'\tau}, \quad (11)$$

$$= \sum_{T \text{ remplissage}} \sum_{\sigma \in \text{RS}(T)} \sum_{\tau \in \text{RS}(T)} \epsilon(\tau) \delta_{\pi=\tau\sigma}$$

$$= \sum_{\substack{\sigma, \tau \in S_n \\ \tau\sigma = \pi}} \epsilon(\tau) \cdot \tilde{N}_{\sigma, \tau}(d)$$

$$\text{où } \tilde{N}_{\sigma, \tau}(d) = \#\{T : \begin{array}{l} \sigma \in \text{RS}(T) \\ \tau \in \text{CS}(T) \end{array}\}$$

Calcul de $\tilde{N}_{\sigma, \tau}(d)$:

Pour $T = \text{id}$

$$\frac{\chi^d(\pi)}{\alpha_d} = \frac{\dim(d)}{\alpha_d}$$

$\dim(V_d) = \dim$ de la repr. irr.

associé à d .

neutre de $GL(V_d)$

$$\chi^d(\text{id}) = \text{tr}_{V_d}(e(\text{id})) = \dim(V_d)$$

$$\text{et } \frac{\chi^d(\pi)}{\alpha_d} = \sum_{\substack{\sigma \in S_n \\ \sigma = \tau^{-1}}} \epsilon(\tau) \tilde{N}_{\sigma, \tau^{-1}}(d)$$

On cherche T tq $\{\sigma \in \text{RS}(T) \text{ et } \sigma^{-1} \in \text{CS}(T)\}$ cette condit.
 implique $\sigma \in \text{CS}(T) \Rightarrow \sigma = \text{id}$

$$\text{donc } \tilde{N}_{\sigma, \tau^{-1}}(d) = 0 \text{ si } \sigma \neq \text{id} \\ = m! \text{ si } \sigma = \text{id}$$

$$\text{donc } \frac{\dim(d)}{\alpha_d} = m! \quad \text{à d } \alpha_d = \frac{\dim(d)}{m!}$$

Donc :

$$\text{Prop : } \frac{m!}{\dim(d)} \chi^d(\pi) = \sum_{\substack{\sigma, \tau \in S_n \\ \tau\sigma = \pi}} \epsilon(\tau) \tilde{N}_{\sigma, \tau}(d)$$

(B) Réduire l'ensemble de sommation

$$\pi \in S_k \subseteq S_m \quad (k \leq m)$$

$$(i.e. \pi(j) = j \quad \forall j > k)$$

Déf : Si $\sigma, \tau \in S_k$, $d+m$ ($k \leq m$)

$$\tilde{N}_{\sigma, \tau}(d) := \#\{f : \{1, \dots, k\} \rightarrow d \text{ injective tq:}$$

✓ un cō ensemble
de card.

$$(*) \quad \begin{cases} f(i) \text{ et } f(\sigma(i)) \text{ st de la } i^{\text{me}} \text{ ligne} \\ f(i) \text{ et } f(\sigma(i)) \text{ st de la } i^{\text{me}} \text{ colonne} \end{cases}$$

Rq: ceci étend la déf. de $\tilde{N}_{\sigma, \tau}(\lambda)$ que l'on avait pr $k=m$.

Ex.: $\tilde{N}_{(12), id}(\lambda) = \sum_{i=1}^{\ell(\lambda)} \lambda_i (\lambda_i - 1)$

	1	2	
2			1

(ie choix ordonné de 2 cases de la m^{e} ligne)

La prop à la fin de (1) se simplifie en:

Prop.: $n(n-1)\dots(n-k+1) \frac{\chi^\lambda(\pi)}{\dim(\lambda)} = \sum_{\sigma, \tau \in S_k} \varepsilon(\tau) \tilde{N}_{\sigma, \tau}(\lambda)$

à la place de $n!$

(pour $\pi \in S_k \subseteq S_n$)

$\sigma\tau = \pi$ à la place de n

Preuve: on sait que

$$n! \frac{\chi^\lambda(\pi)}{\dim(\lambda)} = \sum_{\sigma, \tau \in S_m} \varepsilon(\tau) \tilde{N}_{\sigma, \tau}(\lambda)$$

$\sigma\tau = \pi$

* cas où $\text{Support}(\sigma) \cap \text{Support}(\tau) \subseteq \{1, \dots, k\}$.

ie $\forall i > k \quad \sigma(i) = \tau(i) = i$

donc $f: \{1, \dots, n\} \rightarrow \lambda$, injective vérifiant (*) est la m^{e} chose

que $f: \{1, \dots, k\} \rightarrow \lambda$, injective vérifiant (*) complétée par S_{n-k}

donc $\tilde{N}_{\sigma, \tau}(\lambda) = (n-k)! \tilde{N}_{\sigma|_{\{1..k\}}, \tau|_{\{1..k\}}}(\lambda)$

de $k+1$ à n .

* cas où $\text{Support}(\sigma) \not\subseteq \{1, \dots, k\}$

$\exists i > k$ tq $\sigma(i) \neq i$ (car $\tau(i) = i$ puisque $i > k$)

Ceci implique que $\tau(\sigma(i)) = i$ donc $\tau(i) \neq i$

Ainsi, ce cas convient aussi $\text{Support}(\tau) \not\subseteq \{1, \dots, k\}$.

En fait, si $\sigma(i) = j$ alors $\tau(j) = i$ (car $\tau(\sigma(i)) = \tau(i) = i$)

Donc $f(i)$ et $f(j)$ sont à la fois de la m^{e} ligne et

de la m^{e} colonne. Ce qui contredit que f est injective.

Dans ce cas, $\tilde{N}_{\sigma, \tau}(\lambda) = 0$

Donc $n! \frac{\chi^\lambda(\pi)}{\dim(\lambda)} = \sum_{\substack{\sigma, \tau \in S_n \\ \sigma\tau = \pi}} \varepsilon(\tau) \tilde{N}_{\sigma, \tau}(\lambda)$

$\text{Supp}(\sigma) \cap \text{Supp}(\tau) \subseteq \{1, \dots, k\}$

En posant $\bar{\sigma} = \sigma|_{\{1, \dots, k\}}$ on obtient

$$\text{et } \bar{\tau} = \tau|_{\{1, \dots, k\}}$$

$$m! \frac{\chi^d(\pi)}{\dim(d)} = \sum_{\substack{\bar{\sigma}, \bar{\tau} \in S_k \\ \bar{\sigma}\bar{\tau} = \pi}} \underbrace{\varepsilon(\bar{\tau})}_{\varepsilon(\tau)} \tilde{N}_{\bar{\sigma}, \bar{\tau}}(d) (m-k) !$$

Ex: $\pi = (1 2)$

$$\sigma = (1 2) \text{ et } \bar{\tau} = \text{id} \quad \tilde{N}_{(12), \text{id}}(d) = \sum_{i=1}^l d_i (d_i - 1)$$

$$\sigma = \text{id} \text{ et } \bar{\tau} = (1 2) \quad \tilde{N}_{\text{id}, (12)}(d) = \sum_{i=1}^{l'} d'_i (d'_i - 1)$$

taille de la i^{e} ligne
taille de la i^{e} colonne
(i^{e} de la i^{e} ligne de la partition conjuguée d')

$$\text{Donc } m(m-1) \frac{\chi^d((12))}{\dim(d)} = \sum d_i(d_i - 1) - \sum d'_i(d'_i - 1) \\ = \sum d_i^2 - \sum d'_i^2 + t\lambda - |d|$$

Cet ex était connu avant les $\tilde{N}_{\sigma, \tau}(d)$, mais pas trivial.

(C) Oublier l'injectivité'

Déf: $N_{\sigma, \tau}(d) := \#\{f : \{1, \dots, k\} \rightarrow d \mid \forall (*)\left\{\begin{array}{l} f(i) \text{ et } f(\tau(i)) \text{ et de la } i^{\text{e}} \text{ ligne} \\ f(i) \text{ et } f(z\tau(i)) \text{ --- donne } \end{array}\right.\}$

Thm: $\pi \in S_k \subseteq S_m$

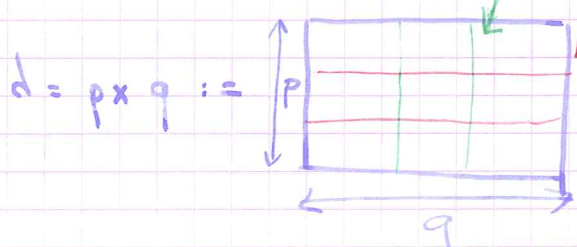
$$m(m-1) \dots (m-k+1) \frac{\chi^d(\pi)}{\dim(d)} = \sum_{\substack{\sigma, \tau \in S_k \\ \sigma\tau = \pi}} \varepsilon(\tau) N_{\sigma, \tau}(d)$$

ie le Thm reste vrai si on enlève la condit' d'injectivité'

idée de la preuve: une fct non injective est comptée avec un coef 0.

Rq: sur l'ex, le Thm donne directement $\sum d_i^2 - \sum d'_i^2$.

Ex:



$$N_{\sigma, \tau}(p \times q) = p^{|C(\sigma)|} q^{|C(\tau)|}$$

nb de cycles de σ nb de cycles de τ

Thm : $\pi \in S_k \subseteq S_m$ $k \leq m$
 (rappel) $d \vdash m$

$$m(m-1)\dots(m-k+1) \frac{\chi^d(\pi)}{\dim(d)} = \sum_{\substack{\tau, \sigma \in S_k \\ \tau \circ \sigma = \pi}} \varepsilon(\tau) N_{\tau, \sigma}(d).$$

on note cette quantité

$Ch_{\pi}(d)$

Rq : $Ch_{\pi}(d)$ est défini sur tous les d :
 → tout $0 \leq |d| \leq k$
 → si indiqué ci-dessus si $|d| \geq k$

2 intérêts de la formule :

- descript° de l'env. de sommat° avec des cartes
- $N_{\tau, \sigma}(d)$

A). Factorisations et cartes

Une paire de permutations peut être représentée us un graph biparti
 ↳ de S_k

(certains préfèrent dire hypergraphe) à k arêtes étiquetées avec
 $\{1, \dots, k\}$ munie d'un système de rotation.

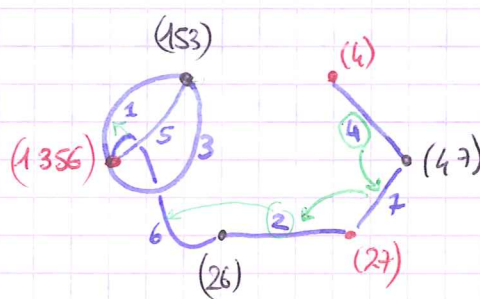
vaut plutôt
 dire ici
 et m°
 bidirectionnel
 ie la
 bidualité
 est fixée

Rq : Ce graphe n'est pas forcém° correcte, c'est pourquoi on ne parle pas de carte. Mais il s'agit d'une union de cartes.

Ex : $\pi = (153)(26)(47)$

$\tau = (1356)(27)(4)$

\circ = cycles de π
 \bullet = cycles de τ



Rq : on écrit les étiquettes à gauche en allant de \circ vers \bullet

$\pi = \tau \cdot \pi$

Les arêtes relient à \circ i τ_i .

Rq : Les cycles qui étiquettent les sommets peuvent être retrouvés à partir de l'étiquetage des arêtes.

- Intérêts :
- $N_{\tau, \sigma}$ ne dépend que du graphe simple sous-jacent (on peut oublier les arêtes multiples et le système de rotation) (\rightarrow voir après).
 - On peut lire $\tau\sigma$ sur la "carte"
 \hookrightarrow on applique σ puis τ

Ex (suite) : $\tau\sigma = (4 \ 2 \ 1 \ 6 \ 7) \ (5) \ (3)$

Pour calculer $\tau\sigma$, on parcourt^(*) les arêtes en en comptant une sur 2

Avec la convention "étiquette à gche" il suffit de parcourir les arêtes du le sens \uparrow et de noter les étiquettes rencontrées.

\hookrightarrow On partant d'un sommet rouge (où on tourne autour d'un noir)

Prop : cycles de σ = faces de la "carte". ($\text{io } \tau$) la 1^e fois)

Cas particulier $\Pi = C := (1 \ 2 \ \dots \ k)$, connexe, en particulier

$\{\tau, \sigma \in S_k \text{ tq } \tau\sigma = \Pi\} \leftrightarrow \left\{ \begin{array}{l} \text{cartes biparties avec } k \text{ arêtes,} \\ \text{et enracinées, et unicellulaires} \end{array} \right\}$

(car connaissant $\tau\sigma$, choisir l'arête 1 équivaut à choisir tout l'étiquetage.)

Rappel : $N_{\tau, \sigma} \left(\underbrace{(q, q, \dots, q)}_{p \text{ parts, toutes égales à } q} \right) = p^{\frac{|C(\sigma)|}{2}} q^{\frac{|C(\tau)|}{2}}$

Rq : $E(\tau) = (-1)^{\# \text{ cycles de } \tau}$

$$Ch_C((q, \dots, q)) = (-1)^k \sum_{M \text{ carte } (*)} \frac{(-1)^{|V_2(M)|} |V_n(M)|}{p} q^{\frac{|V_n(M)|}{2}}$$

V_n et V_m désignent le nb de sommets rouges et noirs de la carte.

$$= (-1)^k k! \sum_{r, s \geq 1} \binom{k-1}{r-1, s-1, k+1-r-s} \binom{p}{r} \binom{-q}{s}$$

[Jackson, 1988]

\hookrightarrow démontrée en utilisant la théorie des rep. des grp sym

Rq: la méthode de Jackson, bien que reposant sur les mêmes outils, est très différente (16) de celle qui est présentée dans ce cours.

de ce qui est présenté de la cour

Par ex., il utilise la formule

$$\# \text{ cartes } \dots (\star) = \sum_{d+m} \dots \frac{\chi^d(\mu) \chi^d(\nu) \chi^d(\epsilon)}{\dim(d)}$$

Le lien entre les 2 approches est assez mystérieux...

B) - Fonctions N_{r, z}

C'est vu où un ens. de cases.

Rappel : $N_{r, \tau}(d) = \#\{f: \{1, \dots, k\} \rightarrow \lambda \text{ vérifiant la condit } (*)\}$

$(*)_j$: $\begin{cases} \forall i, & f(i) \text{ et } f(\sigma(i)) \text{ st de la } m^{\text{e}} \text{ ligne de } d \\ \forall i, & f(i) \text{ et } f(\sigma(i)) \text{ st de la } m^{\text{e}} \text{ colonne de } d \end{cases}$

$$\text{(cas particulier)} \quad d = p \times q = \boxed{p} \underbrace{\qquad}_{q} \quad (p \text{ parties} = \hat{a} q)$$

Soit f vérifiant (*). On peut définir une fonction h_n

$$h_r : C(\tau) \longrightarrow R(d)$$

ens des cycles
de τ

ens des lignes
de R

et une fonction h_c : $C(z) \xrightarrow[\text{ens des cycles de } z]{} \text{Col}(d)$

[En effet deux élts de le m^{e} cycle de σ (resp τ) sont envoyés
de la m^{e} ligne (resp colonne) de d .]

Réiproquement, connaissant deux telles fonctions f_2 et h_2 ,

on définit $f(i) := (h_n(c_1), h_n(c_2))$

où c_1 est le cycle de σ contenant i
 et c_2 est le cycle de τ contenant i .

Ainsi je vérifie (*)

Ainsi, pour $d = p \times q$, on a une bijection entre les x_g vérifiant (x_g) et les couples (h_x, h_c) .

Corollaire: $N_{\tau,\sigma}(pxq) = p^{\text{IC}(\tau)} q^{\text{IC}(\sigma)}$

Si d n'est pas un rectangle :

en suivant la \hat{m} définition, $f(i) := (h_r(c_i), h_c(c_i))$ peut se retrouver hors du diagramme! On ajoute des conditions sur h_r et h_c pour éviter ça.

déf: Un couple (h_r, h_c) vérifie $(*)_R$ si

$\forall i \in k \quad (h_r(c_i), h_c(c_i)) \in d$

c_1 le cycle de σ contenant i
 c_2 ————— τ —————

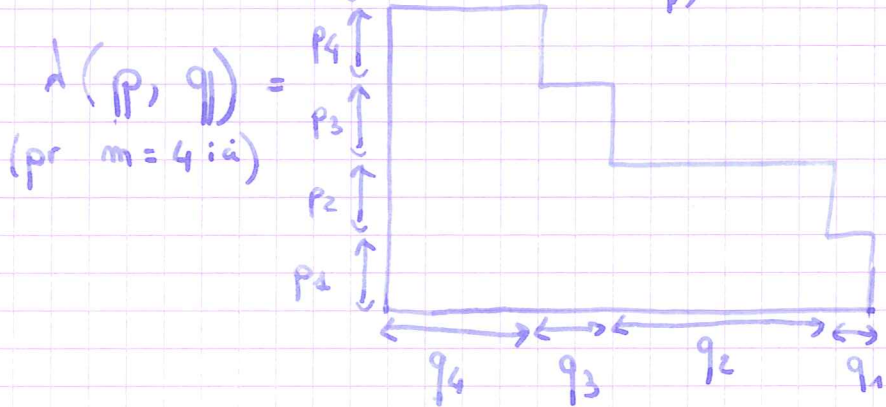
ie $\left. \begin{array}{l} \forall c_1 \in C(\sigma), \forall c_2 \in C(\tau) \text{ tq } c_1 \cap c_2 \neq \emptyset \\ (h_r(c_1), h_c(c_2)) \in d \end{array} \right\} (*)_h$

Lemme: Pour σ général, il y a une bijection entre
 $\{ f \text{ vérifiant } (*)_f \}$ et $\{ h = (h_r, h_c) \text{ vérifiant } (*)_h \}$

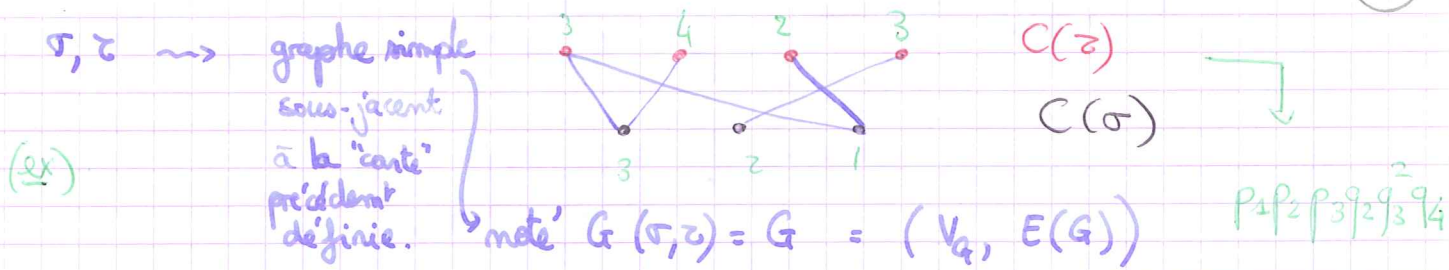
C). Coordonnées multi-rectangulaires

Pour profiter des formules simples sur les rectangles, on voit σ diagramme \leftrightarrow une superposition de rectangles.

À deux suites $p = (p_1, \dots, p_m)$ et $q = (q_1, \dots, q_m)$ d'entiers positifs, on associe un diagramme $d(p, q)$ \leftrightarrow ceci:



$$\text{Prop: } N_{\sigma, G}(d(p, q)) = \sum_{\substack{\varphi \in V(G) \\ \text{mb de } (h_r, h_c) \text{ vérifiant } (*)_h}} \prod_{v \in V(G)} P_{\varphi(v)} \prod_{v \in V(G)} q_{\varphi(v)}$$



$(c_1, c_2) \in E(G(\sigma, \tau)) \Leftrightarrow c_1 \cap c_2 \neq \emptyset$

↑ les arêtes du graphe.

(O) $\left\{ \varphi : V_G \rightarrow \{1, \dots, m\} \text{ "croissante"} \right.$

i.e.p si $(c_1, c_2) \in E(G)$, $\varphi(c_1) < \varphi(c_2)$

noir ↑ rouge ↑

Rq: Cette somme pr $N_{\sigma, \tau}(d(p, q))$ est à rapprocher de la déf. suivante:

$$\text{def } F_G(x_1, x_2, x_3, \dots) = N_G(d(p, q)) \quad \left| \begin{array}{l} p_i = x_i \\ q_i = x_i \end{array} \right.$$

série génératrice multivariée des fonctions croissantes.

on note $N_G = N_{\sigma, \tau}$, vu que

$N_{\sigma, \tau}$ ne dépend que du graphe suffisant

PEC.

16/11/2012

Reappels: $\pi \in S_k$ et $d \vdash n$. On note $\mu = \text{type-cyclique}(\pi)$ dépend de μ plutôt que de π car caractères constant sur classes de conjugaison

$$\frac{\chi^d(\pi)}{\dim(d)}$$

noté $Ch_\mu(d)$

- si $k \leq n$ $\pi \in S_k \subseteq S_n$
donc $\chi^d(\pi)$ "a du sens"
- si $k > n$, $n(n-1) \dots (n-k+1) = 0$
et on définit $Ch_\mu(d) := 0$.

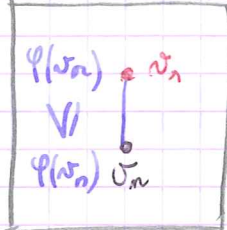
* Si G est un graphe biparti ($V_G = V_m \uplus V_n$)

(avec les sommets rouges au-dessus des noirs)

↑ sommets noirs ↑ sommets rouges

$$N_G(d(p, q)) = \sum_{\varphi: V_G \rightarrow \mathbb{N}^*} \prod_{v_n \in V_n} p^{\varphi(v_n)} \prod_{v_r \in V_R} q^{\varphi(v_r)}$$

croissante [ie si $(v_m, v_n) \in E(G)$,
 $\varphi(v_m) \leq \varphi(v_n)$]



On voit Ch_μ et N_G co- $\in \mathcal{F}(Y, \mathbb{C})$

ens. des fonctions des diagrammes de Young Y
(de très les tailles) dans \mathbb{C} .

Thm (rappel)

$\tau \in S_k$, de type cyclique μ

$$Ch_\mu = \sum_{\substack{\tau, z \in S_k \\ \tau \cdot z = \tau}} \epsilon(z) N_{G, z}$$

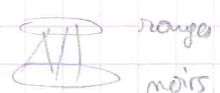
(égalité en tant que fonctions
de Y dans \mathbb{C} , ie th...)

Objectif du jour: Voir Ch_μ et N_G co-fets de $Y \rightarrow \mathbb{C}$.

On regarde les \mathbb{S} -algèbres de $Y \rightarrow \mathbb{C}$ engendrées par les
 Ch_μ d'une part, et par les N_G d'autre part.

A) Algèbre Vect(N_G).

G : bicatégorie



- Déjà, $\text{Vect}(N_G)$ est bien une algèbre, je l'est stable
par multiplication :

$$\text{Rq: } N_G \cdot N_G = N_{G \sqcup G'}$$

Cor: $\text{Vect}(N_G)$ est une \mathbb{S} -algèbre de $\mathcal{F}(Y, \mathbb{C})$

$N_G(d(p, q))$ est un "polynôme" en p et q .

en fait, co il y a un nb infini de variables, mais à l'en.

fini de variables auquel on se restreint, on a un polynôme.

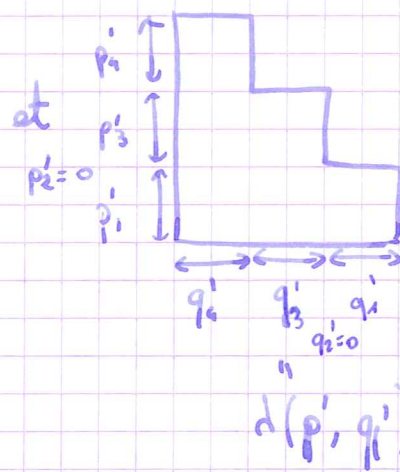
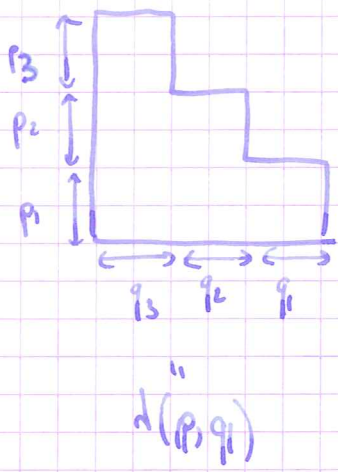
(c'est le sens de "polynôme", que l'on pourrait définir formellement)

Prop : $\{ F \in \mathbb{J}(y, \mathbb{C}) \text{ tel que } F(d(p, q)) \text{ est un polynôme} \}$
 $= \text{Vect } (\text{N}_G).$

Plusieurs suites (p, q) correspondent au même diagramme :

(D)

justifie que
"Vect(N_G)" objet naturel à étudier



On cherche donc les fils qui sont côte sur les suites (p, q) qui sont associées au même diagramme.

(Ceci est l'idée de la preuve, qu'on ne fait pas).

• Quelles sont les relations entre les N_G ?

Prop :

$$(R:) N_{\bullet} - N_{\bullet} - N_{\bullet} + N_{\bullet} = 0$$

Preuve :

$$N_G = \sum_{\varphi: V_G \rightarrow \mathbb{N}^*} S_{\varphi \text{ croissante}} \underbrace{\prod_{v_m} p_{\varphi(v_m)} \prod_{v_r} q_{\varphi(v_r)}}_{\text{monome noté } M_{\varphi}}$$

ainsi, m
ens. de somm
pr chaque des
4 graphes
ci-dessus

contribute d'une fct donnée φ au L.H.S. de (R) :

$$M_{\varphi} \cdot \left(S_{\varphi \text{ croissante}} \text{ sur } \Delta - S_{\varphi \text{ croissante}} \text{ sur } N - S_{\varphi \text{ croissante}} \text{ sur } K + S_{\varphi \text{ croissante}} \text{ sur } \Pi \right)$$

La fct φ correspond à "l'étiquetage" k.o. pl des sommets.

. Si $i > k$ (ou $i < l$), toutes les $S_{\text{croissante}}$ sont nulles.
donc la contribut° totale est nulle

. Si $i \leq l$, $\frac{S_{\text{croissante}}}{\text{sur } \Delta} = \frac{S_{\text{croissante}}}{\text{sur } N}$

la condit° sur l'arête
est tjs satisfaite.

$\frac{S_{\text{croissante}}}{\text{sur } \Pi} = \frac{S_{\text{croissante}}}{\text{sur } II}$

. Si $j \leq k$, de m^{ême} $S_{\Delta} = S_N$

et $S_N = S_{II}$

. Sinon $i \leq k < j \leq l < i$, \perp .

Obs : Plus généralement, la relation (R) est vraie

si on ajoute à chacun des 4 graphes les m sommets et/ou les m arêtes.

(\hookrightarrow possiblement parmi les sommets du cycle.)

et/ou si on considère des cycles plus longs à la place de $i - k - j - l - i$.

ex. p.ex.

Détails (du 2^e pt) pour trouver les $\pm N_G$ à mettre dans la somme, on fait une inclusion/exclusion sur "une arête sur deux".

Ex :

pr $G =$ , la relati° (R) devient :

$$N_G - \sum N_{G'} + \sum N_{G''} - N_{III} = 0$$

f'observation formalisée

G' obtenu en
enlevant une
arête verte à G

G'' obtenu en
enlevant 2
arêtes vertes à G .

■

Prop : Soit G un graphe biparti, et C un cycle de G .
Soit E l'ensemble formé d'une arête sur 2 dans C .
(il y a 2 choix possibles pour E).

(donc C'est de longueur paire).

Alors

$$\sum_{E \subseteq E} (-1)^{|E'|} N_{G \setminus E} = 0.$$

Appelée : Relation d'inclusion/exclusion cyclique.

$$\text{Prop: } \text{Vect}(G) / \begin{matrix} \leftarrow \text{quotient par} \\ \text{les relations} \\ \text{indus-exclus} \\ \text{cyclique} \end{matrix} \simeq \text{Vect}(N_G)$$

algèbre formelle
sur les graphes
bipartis

autrement dit : il n'y a pas d'autres relations que les combinaisons linéaires des relations d'indus-exclus cyclique. (x)

Rappel de notation : $F_G = N_G(P, q) \mid \begin{cases} p_i = x_i \\ q_i = x_i \end{cases}$

La prop ci-dessus est encore vraie pr les F_G .

On peut m relâcher la contrainte "biparti" en "graphe orienté acyclique" (se suffit pr définir la notion de f croissante).

$$\text{Ex: } F_G = \sum_{i,j,k,l} x_i x_j x_k x_l.$$

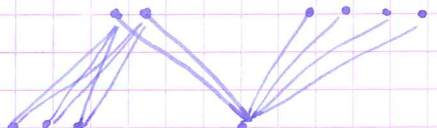
Cette prop est assez robuste car le noyau de Vect(F_G) est encore donné pr des relations d'indus-exclus cyclique.

idées de la preuve de (*)

Pour un graphe donné, on essaie de le voir cō le "plus petit" graphe d'une relation d'indus-exclus cyclique.

$$\text{Vect}(N_G) \subseteq \text{Vect}(N_{G_I})$$

I composit, $G_I = \dots$ ex: $G_{(3,2,1,4)} =$



N_{G_I} ne peut pas être vu cō dernier graphe d'une indus-exclus cyclique.

Puis écriture canonique de tte relation

(à compléter)

(B.) Algèbre Vect (Ch_μ). (Ici, on montre que Vect(Ch_μ) est bien une algèbre) (23)

Dans "Algèbre", il y a caché que Ch₍₂₎ · Ch₍₂₎ ∈ Vect(Ch_μ)

(et pareil pour tous μ₁, μ₂ pour (2) et (2))

↳ et là il y a qqch à démontrer!! (plus que pour les N_G).

$$Ch_{(2)}(d) = m(n-1) \frac{X^d((12))}{\dim(d)}$$

J'ouvre question: X^d(σ) · X^d(σ') = ??

Rappel: X^d(σ) = tr(P^d(σ)) ... mais la trace passe mal au produit ... comment faire?

Lemme: Si x ∈ C[S_n] (x = combinaison linéaire de τ ∈ S_n)

et si x est central (τ · x = x · τ)

$$\text{alors } P^d(x) = \frac{X^d(x)}{\dim(d)} \text{ Id.} \quad \begin{matrix} \downarrow \\ \text{d'où sont ces dim(d)?} \end{matrix}$$

(plus simple) P^d(x) est un multiple de l'identité.

Ensuite, on trouve le facteur multiplicatif en prenant la trace de P^d(x)

Preuve: décalée du lemme de Schur. On sait ...

Cor: Si x, y ∈ C[S_n], x et y centraux,

$$\text{alors } \frac{X^d(x \cdot y)}{\dim d} = \frac{X^d(x)}{\dim d} \cdot \frac{X^d(y)}{\dim d}$$

Preuve:

$$P^d(x \cdot y) = P^d(x) P^d(y)$$

$$= \frac{X^d(x)}{\dim d} \text{ Id.} \cdot \frac{X^d(y)}{\dim d} \text{ Id.}$$

$$= \frac{X^d(x)}{\dim(d)} \cdot \frac{X^d(y)}{\dim(d)} \text{ Id.}$$

et puisque x · y est aussi central:

$$P^d(x \cdot y) = \frac{X^d(x \cdot y)}{\dim(d)} \cdot \text{Id.} \quad \square$$

Astuce: on se ramène aux altri entraux:

c'est un alt central de $\mathbb{C}[S_n]$.

(26)

$$Ch_{(2)}(\lambda) = \frac{1}{\dim \lambda} \chi^\lambda \left(\sum_{\substack{1 \leq i, j \leq n \\ i \neq j}} (i \ j) \right) = m(n-1) \text{ termes}_\lambda^{(1,2)}$$

Avec le corollaire:

$$Ch_{(2)}(\lambda) Ch_{(2)}(\lambda) = \frac{1}{\dim \lambda} \chi^\lambda \left(\sum_{\substack{1 \leq i, j \leq n \\ i \neq j}} (i \ j) \cdot \sum_{\substack{1 \leq k, l \leq n \\ k \neq l}} (k \ l) \right)$$

$$= \frac{1}{\dim \lambda} \chi^\lambda \left(\sum_{\substack{1 \leq i, j, k, l \leq n \\ i, j, k, l \text{ tous distincts}}} (i \ j)(k \ l) \right)$$

$$+ 4 \sum_{\substack{1 \leq i, j, l \leq n \\ i, j, l \text{ distincts}}} (i \ l \ j) \quad (\text{cas } i=k)$$

+ les 3 autres cas $i=l$, $j=k$, $j=l$
et les autres premi i, j, k, l distincts

$$+ 2 \sum_{\substack{1 \leq i, j \leq n \\ i \neq j}} id \quad (\text{cas } i=k \text{ et } j=l)$$

$$= m(n-1)(n-2)(n-3) \frac{1}{\dim \lambda} \chi^\lambda (12)(34) + 4 m(n-1)(n-2) \frac{1}{\dim \lambda} \chi^\lambda (123) + 2 m(n-1) \frac{1}{\dim \lambda} \chi^\lambda (id).$$

$$= Ch_{(2,2)}(\lambda) + 4 Ch_{(3)}(\lambda) + 2 Ch_{(1,1)}(\lambda).$$

$$\text{Pq: } Ch_{(1,1)}(\lambda) = m(n-1) \frac{\chi^\lambda(id)}{\dim \lambda} = m(n-1)$$

il s'agit ici
de l'identité
de S_2 .

la taille de la partie est le nb d'ind'cs
dans la somme

En particulier, les coefs qu'on obtient en écrivant $Ch_{\mu_1}(\lambda) Ch_{\mu_2}(\lambda)$
sur les Ch_μ sont positifs et peuvent être interprétés
combinatoirement (si leur description est compliquée).
(pas de formule close en particulier).

Rappel: $\text{Ch}_{(2)} \cdot \text{Ch}_{(2)} \in \text{Vect}(\text{Ch}_\mu)$ Rappel: $\mu + k \quad \pi \in S_k$ de type cyclique μ .

$$\text{Ch}_\mu(d) := \begin{cases} m(m-1)\dots(m-k+1). & \frac{\chi^d(\pi)}{\dim \pi} \\ 0 & \text{si } |\pi| < k \end{cases}$$

ici on écrit π
 $\pi \in S_m$

Ch_μ est une fd sur tous les diagrammes de Young
(de ttes tailles)

Rq: $\dim d$ est la dim: de la irrep. indexée par d

Prop: $\text{Vect}(\text{Ch}_\mu)$ est une algèbre.
(c'est une \mathbb{C} -algèbre de $\mathbb{F}(y, \mathbb{C})$
ie elle est stable par produit)

(démenté la
remise
dernière)

Objectif: décrire $\text{Vect}(\text{Ch}_\mu)$ autrement

A. Description de $\text{Vect}(\text{Ch}_\mu)$.

1) en tant que fonctions symétriques décalées

Prop: Soit $f \in \text{Vect}(\text{Ch}_\mu)$

- (1) \bullet $(d_1, \dots, d_l) \mapsto f((d_1, \dots, d_l))$ est un polynôme f_l en d_1, \dots, d_l , qui est symétrique en $d_1+1, d_2+2, \dots, d_l+l$.
on fixe le nb de variables.
- \bullet compatibilité: $f_{l+1}(d_1, \dots, d_l, 0) = f_l(d_1, \dots, d_l)$

Lien avec les fcts symétriques (et différence...):

Une fd sym. est une suite de polynômes, et vérifie une relation de compatibilité où on met la $(l+1)^{\text{e}}$ variable à 0.

Ici, on met la $(l+1)^{\text{e}}$ variable à $-(l+1)$ dans la relation de compatibilité.

- Réiproquement, si on prend une suite $(f_l)_{l \geq 1}$ vérifiant les 2 pts précédents, alors elle définit une fonction dans $\text{Vect}(\text{Ch}_\mu)$

Rq : (1) et (2) définissent les fonctions symétriques décalées

(Théorie élaborée dans les années 2000 par Okounkov, Olshansky,...
on y trouve les résultats que sur les fct sym. et
d'autres résultats en plus → théorie riche!)

2) à partir des coordonnées entrelacées

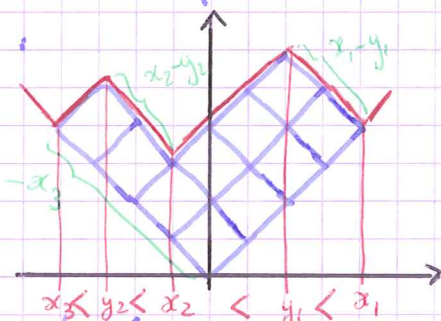
Description d'un diagramme : plusieurs façons possibles :

→ longueur des parts

→ coord. multi-rectangulaires

→ coord. entrelacées (de Kerov) :

on l'obtient à partir de la représentation russe des diagrammes de Young :



représente $(4, 4, 1, 1)$.

La ligne brisée  code entièrement le diagramme.
La suite des α décrit les abscisses des minimum locaux maxima 
(... renormalisées par $\sqrt{2}$)

(α) et (y) sont les coord. entrelacées du diagramme,
et le représentent complètement

$$\text{Rq : } \sum_{i=1}^{m+1} \alpha_i - \sum_{i=1}^m y_i = 0 \quad (\text{g ci-dessus})$$

$$\text{Déf : } t_k(\nu) = \sum_{i=1}^{m+1} \alpha_i^k - \sum_{i=1}^m y_i^k \quad \text{pour } k \geq 2$$

(pour $k=1$, on tombe sur la rq ci-dessous.
pour $k \geq 2$, c'est plus intéressant...)

Les t_k sont des fonctions sur l'ens. des diagrammes de Young

$$\text{Prop : Vect}(\text{Ch}_\mu) = \left[[t_2, t_3, t_4, \dots] \right]$$

ie l'algèbre est générée par les $(t_k)_{k \geq 2}$
et les $(t_k)_{k \geq 2}$ sont algébriquement indépendants

(pas de preuve. on le retrouve en fait par manip. de séries
à partir de la prop. précédente)

Idee de comment le retrouver à partir de la description 1) ?

* les (t_k) ressemblent (au "-" près) aux fonctions puissances. En fait $t_k(\lambda)$ est la "fonction puissance sur $\underbrace{(\mathbb{X} - \mathbb{Y})}_{\hookrightarrow \text{notation de différence d'alphabet virtuel}}"$

"fonction puissance $(\mathbb{X} + \mathbb{Y})$ " à calcul dans les \mathbb{d} -anneaux ...

$$= \sum x_i^k + \sum y_i^k$$

= "fonction puissance (\mathbb{X}) " + "fonction puissance (\mathbb{Y}) "

$$\text{ie } P_k(\mathbb{Z} + \mathbb{Y}) = P_k(\mathbb{Z}) + P_k(\mathbb{Y})$$

et pour $Z = \mathbb{X} - \mathbb{Y}$, on trouve

$$P_k(\mathbb{X}) = P_k(\mathbb{X} - \mathbb{Y}) + P_k(\mathbb{Y})$$

ce qui donne un sens à $P_k(\mathbb{X} - \mathbb{Y})$, même si $\mathbb{X} - \mathbb{Y}$ n'est pas un "vrai" alphabet ...

(G) les fct puissances engendrent les fct symétriques, on a:

$$\underline{\text{Cor: }} \text{Vect}(\mathcal{C}_{\mu}) = \text{Sym}(\mathbb{X} - \mathbb{Y})$$

$$\underline{\text{Lemme: }} N_G(\lambda) = (-1)^{\frac{|N|}{2}} F_G(\mathbb{X} - \mathbb{Y})$$

pas défini sur $\mathbb{X} - \mathbb{Y}$ de ce cours...
on avait défini F_G sur un seul abct.
 \triangleleft F_G n'est pas une fct symétrique.

Rappel:

$$F_G(x_1, x_2, \dots) = \sum_{\varphi: G \rightarrow \mathbb{N}^* \text{ croissante}} \prod_{i \in G} x_{\varphi(i)}$$

meilleur défini canoniquement
fct G est quasi-sym.

ex:

$$F_{k \times l} (x_1, x_2, \dots) = \sum_{i_1, i_2, \dots, i_l} x_{i_1} x_{i_2} \dots x_{i_l}$$

ce signe est en fait constant

$$\textcircled{B} \quad \text{Ch}_\mu(\lambda) = \sum_{\sigma, \tau \in S_k} \varepsilon(\sigma) N_{G_{\sigma, \tau}}(\lambda) = \sum_{\substack{\sigma, \tau \in S_k \\ \sigma \tau = \pi}} \varepsilon(\sigma) (-1)^{|N_\sigma|} F_{G_{\sigma, \tau}}$$

où π est une perm de type μ la dépendance en λ
est passée dans X et Y .

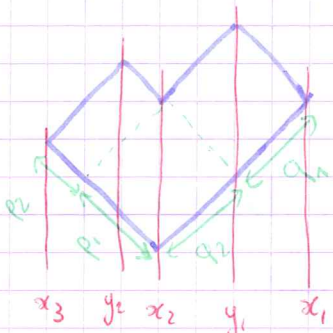
Qui pose la question suivante :

$$\sum_{\substack{\sigma, \tau \in S_k \\ \sigma \tau = \pi}} F_{G_{\sigma, \tau}} \text{ est-elle une fd symétrique ?}$$

[Réponse : pas tout à fait. Mais où dans le quotient
où on a mis $\sum x_i = 0$]Pr mg Ch_μ est une fonction sym de $X - Y$, il suffit de mg que
 $\sum F_G(X - Y)$ l'est. Mais on sait que Ch_μ est sym.Mais alors $\sum F_G(X)$ l'est-il aussi ? (ce serait suffisant, mais
ce n'est pas nécessaire)Plus généralement, qui pose la question de savoir quand
une combinaison linéaire des F_G est symétrique.

(avec l'éclairage donné en particulier par les fd's de Schur)

Rq:



$$p_1 = x_1 - y_1$$

Donc on peut relier les

$$p_2 = x_2 - y_2$$

 X et Y aux

$$q_1 = y_1 - x_2$$

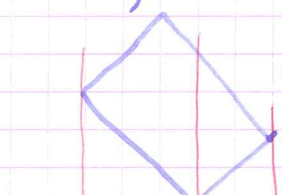
coord. multi-rectangulaires.

$$q_2 = y_2 - x_3$$

$$\text{Ex: } \text{Ch}_{(1)}(\lambda) = m \frac{\chi^d(\text{id})}{\dim(d)} = m = \frac{1}{2} t_2(\lambda)$$

car:

(ce d rectangle)



$$x_2 = p \quad y_1 = q - p \quad x_1 = q$$

$$\underbrace{x_1^2 + x_2^2 - y_1^2}_{t_2(\lambda)} = 2pq = 2m.$$

Rappel : $\text{Ch}_{(2)}(\lambda) = \sum d_i^2 - \sum d_i^{1/2}$ pour λ rectangle (25)

$$= p \cdot q^2 - p^2 q$$

$$\text{et } t_3(\lambda) = -(q-p)^3 + p^3 - q^3$$

$$= 3pq^2 - 3p^2q$$

donc $\text{ch}_{(2)} = \frac{1}{3} t_3$

$(\lambda' = \boxed{\square} \begin{matrix} q \\ p \end{matrix} \text{ son conjugué})$

En fait, écris que $\text{ch}_\mu = \langle [t_2, t_3, \dots] \rangle$

revient à écrire

$$\text{ch}_\mu = \sum_{\substack{\text{partition} \\ l = l(v) \text{ sans part} = 1}} \alpha_l^\mu t_{v_1} \dots t_{v_l}$$

et les coef. qui apparaissent (α_l^μ) sont définis uniques et peuvent être décrit combinatoirement à partir de \textcircled{A}

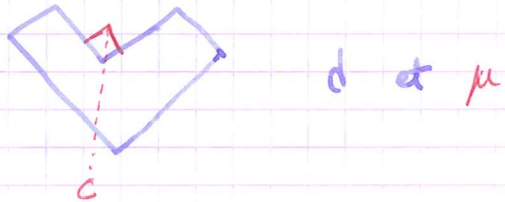
R₇: Les t_k des diagrammes obtenus en ajoutant des cases peuvent être obtenus par la relation

$$t_k(\mu) = t_k(\lambda) - 2c^k + (c-1)^k + (c+1)^k$$

car : $\chi_\mu - \chi_\lambda = \chi_\lambda - \chi_\lambda - 2c + c-1 + c+1$

(voir χ_λ w/ $\sum_{x \in \lambda} a_x$)

et t_k : $a_k \rightarrow z^k$



P.E.C.
30/11/2012

Rappels :

$$\text{ch}_\mu \in \underbrace{\mathfrak{f}(y, \mathbb{C})}_{\text{fonctions sur } y = \text{tous les diagrammes de Young}}$$

C'est ch_μ qu'on étudie car

ch_μ = le caractère normalisé sur une perm. de type μ .

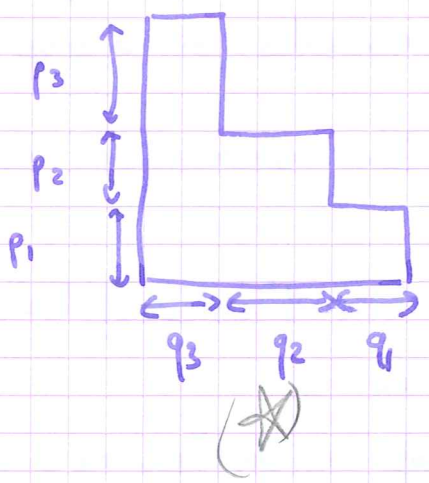
La semaine dernière, on a donné des descriptions de l'algèbre $\text{Vect}(\text{ch}_\mu)$

\leftarrow donc stabilité par produit

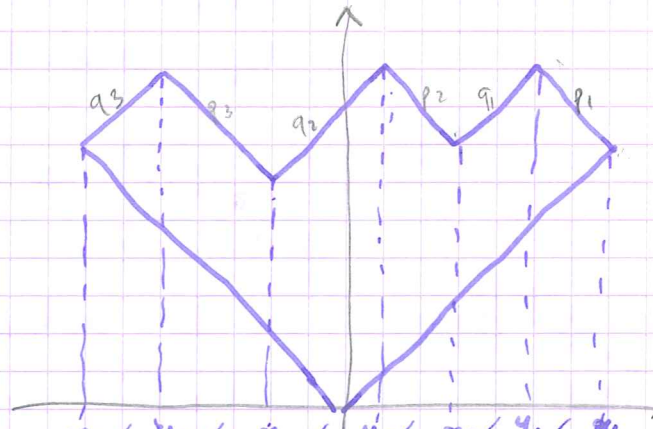
On repart de la description $\text{Vect}(\mathbb{C}_{\mu}) = \mathbb{C}[t_2, t_3, \dots]$ (BD)

(ie l'elmt de $\text{Vect}(\mathbb{C}_{\mu})$ s'écrit de manière unique cs un polynôme sur les t_k)

Rappel: déf de t_k



rotate
45°



Un param. en plus, mais une relati pour compléter: $\sum a_i - \sum y_i = 0$

$$t_k(d) := \sum_{i=1}^{m+1} a_i^k - \sum_{i=1}^m y_i^k$$

Prop: Une base algébrique de \mathbb{C}_{μ} est t_2, t_3, \dots
ie $\text{Vect}(\mathbb{C}_{\mu}) = \mathbb{C}[t_2, t_3, \dots]$

Prop: \mathbb{C}_{μ} s'écrit cs $\sum_{\text{partition}} a_{\rho}^{\mu} t_{\nu_1} \dots t_{\nu_p}$
 $\ell = \ell(\rho) \rightarrow$ longueur de μ ?
 $m_1(\nu) = 0 \rightarrow$ pas de part égale à 1 pour ν
et les a_{ρ}^{μ} sont uniques.

question: interprétat° combinatoire des a_{ρ}^{μ} .

A. Développement sur les t_k

Idée: tout écrire en fonction de paramètres p et q'

$$p = (p_1, p_2, \dots, p_m)$$

$q' = (q_1 + q_2 + \dots + q_m, q_2 + \dots + q_m, \dots, q_{m-1} + q_m, q_m)$
dans la représentat° (*) de d .

$$\text{ie } q'_i = q_i + \dots + q_m$$

* Les Ch_μ en fonction de p et q'

$$\text{Rappel : } Ch_\mu = \sum_{\sigma, \tau \in S_k} \varepsilon(\sigma) N_{G_{\sigma, \tau}}$$

$\sigma \cdot \tau = \pi$

où $k = |\mu|$ et $\pi \in S_k$ est une perm. de type μ

$G_{\sigma, \tau}$ est un graphe bicolore associé à (σ, τ)

$N_{G_{\sigma, \tau}}$ compte les fonctions croissantes sur ce graphe.

Fait : $N_{G_{\sigma, \tau}}(d)$ a une interprétation combinatoire en fonction de p et q'

[Preuve.] On la déduit à partir de l'interprétation combinatoire en fct de p et q .

Ainsi $Ch_\mu(d(p, q))$ a des coeffs en fonction de p et q' qui ont une interprétation combinatoire.

Preuve $N_G(d(p, q)) = \sum_{\varphi \text{ croissante}} \prod_{\bullet \in V(\bullet)} p \varphi(\bullet) \prod_{\bullet \in V(\circ)} q \varphi(\bullet)$

↓ i.e. $\varphi(\bullet) \geq \max_{\bullet \text{ voisin de } \bullet} \varphi(\bullet)$

donc $\varphi(\bullet)$ peut prendre toutes les valeurs possibles à partir de i si $i = \max \varphi(\bullet)$. En regroupant ces termes, on voit apparaître $q_i + q_{i+1} + \dots + q_m$

Ainsi, $N_G(d(p, q)) = \sum_{\substack{\varphi(\bullet) = \max \varphi(\bullet) \\ \bullet \text{ voisin de } \bullet}} \prod_{\bullet \in V(\bullet)} p \varphi(\bullet) \prod_{\bullet \in V(\circ)} q' \varphi(\bullet)$

Les Ch_μ aussi s'écrivent donc bien en fonction de p et q' .

(expression de $\varepsilon(\sigma)$ en fct de $d(p, q)$ ou de $G_{\sigma, \tau}$?)

* Les $t_k(l)$ en fonction de p et q'

Sur le schéma on voit bien la relation entre les x, y et les p, q' :

$$x_i = q'_i - p_1 - \dots - p_{i-1}$$

$$y_i = q'_i - p_1 - \dots - p_i$$

$\rightarrow t_k(\lambda) = \sum x_i^k - \sum y_i^k$ a donc une expression assez complexe en fonction de p et q'

$\rightarrow t_{\nu_1}(\lambda) \dots t_{\nu_p}(\lambda)$ encore plus!

Mais certains coefficients sont simples.

lemme: Soient i_1, \dots, i_n , ν une partition avec des parts toutes ≥ 2

$$\left[p_1 q_1^{i_1-1} \cdots p_n q_n^{i_n-1} \right] t_{\nu_1} \cdots t_{\nu_p} = \begin{cases} 0 & \text{si } \nu \neq \text{tri}(i_1, \dots, i_n) \\ z_\nu & \text{si } \nu = \text{tri}(i_1, \dots, i_n) \end{cases}$$

pas de puissance sur les p .

(où $z_\nu = \prod m_i(\nu)!$)

(admis)

est explicité) m_i = multiplicité de i

Preuve: idées assez simples.

Il faut regarder proprement de quel terme viennent les variables p et q'

(ex q'_r ne peut venir que de t_r)

Les voeux du lemme sont suffisants pour calculer les a_ν^μ .

On ne calcule pas les autres!

(=coeffs de $t_{\nu_1} \cdots t_{\nu_p}$)
donc $Ch_\mu(\lambda(p, q))$

Corollaire:

$$a_\nu^\mu = \frac{1}{z_\nu} \left[p_1 q_1^{i_1-1} \cdots p_n q_n^{i_n-1} \right] Ch_\mu(\lambda(p, q))$$

$$\text{Preuve } Ch_\mu(\lambda(p, q)) = \sum_{\substack{\text{partition} \\ m_1(\nu) = 0}} a_{\nu'}^\mu t_{\nu'_1} \cdots t_{\nu'_{l'}} \quad l' = l(\nu')$$

(voeux de $p_1 q_1^{i_1-1} \cdots p_n q_n^{i_n-1}$)

$$\left[p_1 q_1^{i_1-1} \cdots p_n q_n^{i_n-1} \right] Ch_\mu(\lambda(p, q)) = a_\nu^\mu z_\nu$$

car le seul terme de la somme qui survit est celui indexé par $\nu' = \nu$. ■

Remarque Le corollaire fournit une interprétation combinatoire de a_p^{μ} (différente de celle de Ch_{μ} en fd° de p et q')

Cette interprétation est intéressante car les termes dans $\text{Ch}_{\mu} = \sum a_p^{\mu} t_{p_1} \dots t_{p_k}$ sont dans $\text{Vect}(\text{Ch}_{\mu})$. Ce n'était pas le cas avec la précédente interprétation combinatoire des Ch_{μ} (faisant intervenir N_G , sachant que $\text{Vect}(\text{Ch}_{\mu})$ est strictement inclus de $\text{Vect}(N_G)$)

(B-) Graduation

Soit $X \in \text{Vect}(N_G)$. X est un polynôme en p et q .

On peut définir $\deg(X) = \deg_{p_i, q_i}(X(d(p, q)))$

$$\text{Ex: } \deg(t_k) = k$$

(car c'est le degré k en x et y , et le chgt de x, y à p, q est linéaire)

$$\cdot \deg(N_G) = |V_G| \quad (= \text{nb de sommets de } G)$$

(car du chgt monôme, il y a une variable pour q par sommet)

$$\cdot \deg(\text{Ch}_{\mu}) = ?$$

$$\text{Ch}_{\mu} = \sum_{\substack{\sigma, \tau \in S_k \\ \sigma \tau = \pi}} \varepsilon(\tau) \underbrace{N_{G_{\sigma}, \tau}}_{\text{nb de cycles de } \sigma}$$

$$\text{de degré } |V_{G_{\sigma, \tau}}| = \underbrace{|C(\sigma)|}_{\text{nb de cycles de } \sigma} + \underbrace{|C(\tau)|}_{\text{nb de cycles de } \tau}$$

Lemme: On fixe $\pi \in S_k$

Si $\sigma \tau = \pi$ alors $|C(\sigma)| + |C(\tau)| \leq k + |C(\pi)|$
et la borne est atteinte.

idée de preuve :

$$\text{Notons } r(\sigma) = k - |\mathcal{C}(\sigma)| \quad (\forall \sigma \in S_k)$$

On "sait que" $r(\sigma)$ est le nb de transpositions nécessaires pour écrire σ comme produit de transpositions (réurrence...)

$$\Rightarrow r(\pi) \leq r(\sigma) + r(z)$$

(en effet, en écrivant σ et z comme produit de transpositions, on a une écriture de π comme produit de transpositions)

$$\begin{aligned} r(\pi) &\leq r(\sigma) + r(z) \Leftrightarrow |\mathcal{C}(\sigma)| + |\mathcal{C}(z)| \leq |\mathcal{C}(\pi)| + k \\ |\mathcal{C}(\pi)| - k &\geq |\mathcal{C}(\sigma)| + |\mathcal{C}(z)| - 2k \end{aligned}$$

$$\text{Ainsi } \deg(C_{\mu}) \leq |\mu| + l(\mu).$$

$\downarrow \quad \downarrow$

$|\mu| = k \quad \text{nb de cycles de } \pi = \text{nb de paquets de } \mu$

En fait, il y a égalité.

En effet $\varepsilon(z) = (-1)^{|\mathcal{C}(z)|}$. Donc le signe correspond au nb de variables q du terme. Donc deux termes ne peuvent pas se compenser. (autrement dit, tous les termes sont positifs en p et $-q$)

Cas $\mu = (k)$. Regardons la composante de plus haut degré.

$$R_{k+1} := \sum_{\substack{\sigma, z \in S_k \\ \sigma \cdot z = (1, 2, \dots, k)}} \varepsilon(z) N_{G_{\sigma, z}}$$

$$\{ |\mathcal{C}(\sigma)| + |\mathcal{C}(z)| = k+1 \quad |\mu| + l(\mu) \text{ pour } \mu = (k).$$

correspond à des arbres unicellulaires bipartis enracinés avec k arêtes
avec $k+1$ sommets } ie ici, la somme est sur des arbres plans enracinés avec $k+1$ sommets

(la bipartition sur l'arbre est implicite, il suffit de prendre toujours une racine noire (par convention). Les sommets à hauteur paire (resp. impaire) correspondent ainsi aux variables p (resp. q).
Sa n'est pas limitant ?

On a vu l'écriture de Ch_μ sur la base algébrique des t_k

On va voir celle R_{k+1}

Rappel : Ch_μ est une fd sur l'ens. des diagrammes de Young

C'est le caractère sur une perm π de type μ (bien renormalisé)

$\text{Vect}(\text{Ch}_\mu)$ est une algèbre

dont une base algébrique est t_2, t_3, t_4, \dots

$$\text{Ch}_\mu(k) = \sum_{\substack{\text{M carte bipartie} \\ \text{semi-cellulaire} \\ \text{enracinée avec} \\ k \text{ arêtes}}} (-1)^k (-1)^{|V_\alpha(\pi)|} N_{G(\pi)}$$

$\varepsilon(z) = k - |C(z)|$

un sommet
 n'a pas
 un cycle de G .
 à la carte.
 (sur une arête)

de la cas $\mu = (k)$,
 l'ens de
 sommets s'interprète
 combinatoirement
 en des cartes...
 mais c'est la
 formule "habituelle"

On s'intéresse à une autre base algébrique de $\text{Vect}(\text{Ch}_\mu)$, les R_k

$$\text{déf: } R_{k+1} = \sum_{\substack{\text{M carte bip.} \\ \text{semi. enr.} \\ \text{avec } k \text{ arêtes} \\ \text{et } k+1 \text{ sommets}}} (-1)^k (-1)^{|V_\alpha(\pi)|} N_{G(\pi)}$$

Δ au décollage
 d'indiles!

autres "plans
 enracinés"

Prop. : $\{R_2, R_3, R_4, \dots\}$ est une base algébrique de $\text{Vect}(\text{Ch}_\mu)$
 (admixe)

Q?] Relations entre la base des (t_k) et celle des (R_k) : on peut les écrire explicitement, à la fin pour le passage de R à t et le passage de t à R .

(on me répond pas en détails)

Q?] Quel est le dual de Ch_μ sur la base des R ?

On pourrait écrire Ch_t sur la base de t , puis passer de t à R ,
 mais les calculs sont lourds (inclus-exclus, ...) [c'est possible]
 On décrit plutôt ici une méthode combinatoire pour calculer
 ce dpt.

Calcul pour $\mu=(k)$ et des petites valeurs de k :

$$Ch_{(1)} = N \begin{array}{c} \bullet \\ | \\ \bullet \end{array} = N \begin{array}{c} \circ \\ | \\ \bullet \end{array} = R_2$$

(convention de couleurs: $\circ = 0$ et $\bullet = 1$)

$$Ch_{(2)} = -N \begin{array}{c} \circ \\ | \\ \bullet \end{array} + N \begin{array}{c} \circ \\ | \\ \circ \end{array} = R_3$$

$$Ch_{(3)} = N \begin{array}{c} \circ \\ | \\ \bullet \\ | \\ \bullet \end{array} - 3 \underbrace{N \begin{array}{c} \circ \\ | \\ \circ \\ | \\ \circ \end{array}}_{\substack{\text{nb d'enracinements} \\ \text{possibles}}} + N \begin{array}{c} \circ \\ | \\ \circ \\ | \\ \circ \\ | \\ \circ \end{array} + N \begin{array}{c} \circ \\ | \\ \circ \\ | \\ \circ \\ | \\ \circ \\ | \\ \circ \end{array}$$

$= R_4$

Rq: cette carte
 est bien
 unicellulaire.
 car N
 ne dépend
 que du
 graphe
 sous-jacent

$= R_4 + R_2$

$$Ch_{(4)} = (\text{m\grave{e}me principe que } Ch_{(3)})$$

$$Ch_{(5)} = (\text{120 termes! dont les suivants...})$$

$$= \dots - 5N \begin{array}{c} \circ \\ | \\ \circ \end{array}$$

(enracinements
 possibles)
 " "

$N \begin{array}{c} \circ \\ | \\ \circ \\ | \\ \circ \\ | \\ \circ \\ | \\ \circ \end{array}$ (on prend le graphe sous-jacent)
 qui n'est pas un arbre...

Rappel: $N_G \cdot N_{G'} = N_{G \sqcup G'}$ (\sqcup = union disjointe)

(37)

$$\text{donc } R_{V_1} \dots R_{V_L} = \sum_{\substack{G \\ \text{certains} \\ \text{forêts}}} \pm N_G$$

Donc N_{arbres} n'est pas un produit de R_{\dots} !

Il faut utiliser les relations entre les N pour transformer N_{arbres} et faire apparaître des arbres :

$$N_{\text{arbres}} = N_{\text{arbres}} + N_{\text{arbres}} - N_{\text{arbres}}$$

(par inclusion-exclusion cyclique)

Plus généralement, dès qu'il y a un cycle, on le "casse" en des arbres de cette façon.

Il faut ensuite regrouper les N_{arbres} qui apparaissent pour faire apparaître les R_{\dots}

Cela demande

- 1) de faire les bons choix sur les cycles à "casser"
- 2) de bien regrouper les N_{arbres} pour avoir des R_{\dots}

C'est possible [cf thèse de Valentin] mais difficile...

On va ici utiliser une autre approche qui utilise que les relations d'incluso-excluso cyclique sont les seules relations entre les N_G . [Ainsi, on démontre une formule conjecturée par la 1^e approche]

$$\text{On sait que } \exists! b_v^M \text{ tq } \text{ch}_\mu = \sum_{\substack{\text{V partite} \\ \text{sans parts} \\ = \text{à } 1}} b_v^M R_{V_1} \dots R_{V_L}$$

(car les $R_{V_{k+1}}$ sont une base algébrique de $\text{Vect}(\text{ch}_\mu)$)

Tâche : Construire une fonction $I_p : \text{Vect}(N_G) \rightarrow \mathbb{C}$

$$\text{t.p } I_p(R_{v_1} \cdots R_{v_l}) = \begin{cases} 0 & \text{si } v \neq v' \\ \neq 0 & \text{si } v = v' \end{cases}$$

Ainsi, en appliquant I_p à χ_{p_i} , on aura accès à b_p^i .

Rappel : $\text{Vect}(N_G) = \text{Vect}(G) / \text{indus-exclus cyclique}$

donc pour définir I_p , il suffit de définir une fonction sur $\text{Vect}(G)$ qui soit compatible avec (i.e. qui s'annule sur) les relations d'indus-exclus cyclique.

déf Soit V_0 un ensemble, et $h : V_0 \rightarrow \mathbb{N}^*$.

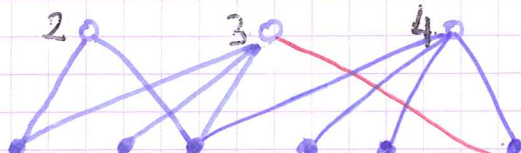
Un graphe G biparti dont l'ens. de sommets blancs est V_0 est h -expanseur si :

- $\sum_{o \in V_0} h(o) = |V(G)|$
- $\forall V \subseteq V_0 \mid \overline{\partial}(V) \mid \geq \sum_{o \in V} h(o)$
voisinage fermé de V

en particulier, pour un graphe connexe, on veut avec inégalité stricte quand $V(V)$ n'est pas une union de composantes connexes du graphe
 $\forall V \neq V_0 \text{ et } \emptyset$

Rq : Cette 2^e condit rappelle la déf. de graphe expansif, mais le lien est mystérieux...

Ex :



la fd^e h

Ici, le voisinage de $2o$ a au moins 2 sommets. Mais il faut aussi que le voisinage de $\{2o, 3o\}$ ait au moins 3+1 sommets. Ceci demande d'ajouter à l'exemple, car les voisinages choisis se recoupent trop.

Les graphes expander sont connus pour être "très connectés".
En particulier, arbres et forêts ne le sont jamais.

(*) Lemme : Une forêt F est h -expander si et seulement si F est une union disjointe d'étoiles de centre blanc (ie

$$F = \begin{array}{c} \text{---} \\ | \\ \text{---} \end{array} \dots \begin{array}{c} \text{---} \\ | \\ \text{---} \end{array} \dots \begin{array}{c} \text{---} \\ | \\ \text{---} \end{array} \dots \begin{array}{c} \text{---} \\ | \\ \text{---} \end{array}$$

et $h(o) = \text{taille de sa comp. connexe}$.

Notons $\text{sgex}_G^h = (-1)^{\text{c.c.}(G)} \cdot \begin{cases} 1 & \text{si } G \text{ est } h\text{-expander} \\ 0 & \text{sinon} \end{cases}$
 $(\text{c.c.}(G) = \#\text{comp. connexes de } G)$.

Lemme : G avec un cycle C .

Notons E un demi-ensemble des arêtes du cycle.

(Rappel : alors l'incluso-excluso cyclique s'écrit $\sum_{E' \subseteq E} (-1)^{|E'|} N_{G|E'} = 0$)

Alors $\sum_{E' \subseteq E} (-1)^{|E'|} \text{sgex}_{G|E'}^h = 0$

Preuve : elle est plus compliquée qu'il n'y paraît !

Voir la preuve de V. Féray et P. Śniady, qui utilise des outils complexes (cônes, triangulations, ...)

On n'a pas de preuve simple de cet énoncé.

Fixons une partition β .

déf $I_\beta(G) = \begin{cases} 0 & \text{si } \ell(\beta) \neq |\mathcal{V}_0(G)| \\ \sum_{h: \mathcal{V}_0 \rightarrow \mathbb{N}^*} \text{sgex}_G^h & \end{cases}$

tq multiensemble des $\ell(\mathcal{V}_0)$ $h(v)$, $v \in \mathcal{V}_0$
 $= \text{multiensemble des } (\mathcal{V}_i)$

Ex I_(4,3,2) $\left(\begin{array}{c} \circ \\ \circ \\ \dots \end{array} \begin{array}{c} \circ \\ (\text{ex. précédent}) \\ \dots \end{array} \begin{array}{c} \circ \\ \dots \end{array} \right)$

$$= (-1)^{\text{c.c.}(G)} \left(\left[\left(\begin{array}{ccc} 2^0 & 3^0 & 4^0 \\ \dots & \dots & \dots \end{array} \right) \text{ est expanseur} \right] \right.$$

$$+ \left[\left(\begin{array}{ccc} 0^3 & 0^2 & 0^4 \\ \dots & \dots & \dots \end{array} \right) \text{ est expanseur} \right]$$

$$\left. + \dots \right)$$

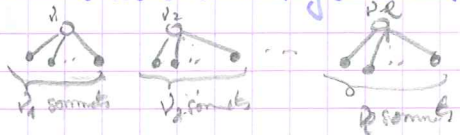
Ainsi, on a défini I_V sur $\text{Vect}(N_G)$

Avec le lemme (*): $I_V(R_{V_1} \dots R_{V_p}) = \begin{cases} 0 & \text{si } V \neq V' \\ \pm 0 & \text{sinon} \end{cases}$

$\left\{ \begin{array}{l} \text{Chq } R_k \text{ est une } \sum_{\text{arbres}} \pm N_T \cdot T = \text{arbres dans l'env. de sommets } V_1, \dots, V_p \\ \text{Donc } R_{V_1} \dots R_{V_p} \text{ est un } \sum_{\text{f.f. de } G} \pm N_F \text{ (car } N_G \cdot N_{G'} = N_{G \sqcup G'}) \\ \text{Par (*), le seul terme non nul dans } I_V(R_{V_1} \dots R_{V_p}) \text{ est celui correspondant à } \end{array} \right.$

Conclusion: $b_V^\mu = * I_V(\chi_\mu)$

\uparrow facteur explicite



$$= * \sum_{\sigma: V = \pi} \epsilon(\sigma) I_V(G_{\sigma, \circ})$$

Dans le cas $\mu = (k)$, les signes disparaissent

Donc les coeffs $b_V^{(k)}$ sont > 0 , avec une interprétation combinatoire.

Petit bilan:

χ_μ est le caractère normalisé

On a vu plusieurs interprétations combinatoires de χ_μ :

avec . les N_G \rightarrow graphes dessinés sur les surfaces orientées

- . les t_k \rightarrow .
 - . les R_k \rightarrow .
- aussi, mais avec des contraintes supplémentaires sur ces graphes.

On peut définir une déformation $\chi_\mu^{(\alpha)}$ tq $\chi_\mu^{(1)} = \chi_\mu$.

[ceci fait écho à la déformation des fonc. sym. en polynômes de Jack]

On peut montrer que $\text{Vect}(\mathcal{C}_{\mu}^{(\alpha)})$ est aussi une algèbre, qui a exactem^{me} la m^e structure de $\text{Vect}(\mathcal{C}_{\mu})$:

$$\text{Vect}(\mathcal{C}_{\mu}^{(\alpha)}) \cong \text{Vect}(\mathcal{C}_{\mu})$$

Mais cette \cong est mystérieuse (conjecture de Michel Lassalle)

Cependant pour $\alpha = 2$, tous les thm de $\alpha = 1$ se généralisent en remplaçant "surfaces orientées" par "surfaces quelconques".

Pour $\alpha = 2$, il y a aussi une interprétation en termes de représentations de la paire de Gelfand (S_n, H_n) (les caractères irred. correspondent à $\alpha = 2$).

PEC
14/12/2012

Objectif: essayer de décrire la forme limite de grands diagrammes pris au hasard selon la mesure de Plancherel (pas uniforme)

qui posée dès les années 70

approche présentée : celle de Kerov (1993) développée par Ivanov et Olanski (article de 2003).

Elle utilise la vision des caractères ci-dessus sur les diagrammes de Young.

Grands diagrammes sous la mesure de Plancherel

(A) Définition du problème

Déf: Soit $n \geq 1$. La mesure de Plancherel est une mesure de proba sur \mathcal{Y}_n (= ens des diagrammes de tableau de n) (= ens des partitions de n) définie par , si $d \vdash n$

$$P_n(d) = \frac{(\dim V_d)^2}{n!}$$

$\dim(V_d) = \dim^{\circ}$ de la représentation irred. associée à d (42)
 $=$ nb de tableaux standards de forme d .

- Rappel (justifiant la déf.) : $\sum_{d \vdash n} (\dim V_d)^2 = n!$

Ce rappel est vrai par tout groupe (cf décomposition de la représentation régulière \rightarrow cf première séance)

- Description combinatoire de la mesure de Plancherel :

- prendre une perm. de taille n uniformément
- appliquer RSK (Robinson-Schensted-Knuth)
 on obtient une paire (T_1, T_2) de tableaux, qui ont la \hat{n} forme, noté d .
 (de Young)
- garder la forme d .

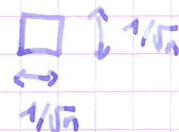
On obtient une partition aléatoire dont la distribution est la mesure de Plancherel.

- Problème : Prendre pour chaque n un diagramme aléatoire, noté $d^{(n)}$ (sous la mesure de Plancherel, tjs).
 Que peut-on dire de $d^{(n)}$ quand $n \rightarrow +\infty$?

- Renormalisation : on commence par renormaliser, pour que tous les $d^{(n)}$ vivent "dans le \hat{n} monde".

déf : $T_{1/\sqrt{n}}$ ($d^{(n)}$) est le diagramme $d^{(n)}$ défini

avec des cases de côté $1/\sqrt{n}$:



Ainsi, les $T_{1/\sqrt{n}}$ ($d^{(n)}$) st tjs d'aire = à 1.

Obs : Toutes nos fonctions sur les diagrammes s'expriment en des polynômes en p et q . Donc on peut les appliquer à $T_{1/\sqrt{n}}$ ($d^{(n)}$), qui a aussi des coord. multirangées.

Plus précisément : Si $F \in \text{Vect}(N_G)$, $F(T_{1/\sqrt{n}}(d^{(n)}))$ est bien défini : (43)

- $d^{(n)}$ a pour coord. multirect. $p_1^{(n)}, \dots, p_m^{(n)}, q_1^{(n)}, \dots, q_m^{(n)}$
- $T_{1/\sqrt{n}}(d^{(n)}) \xrightarrow{\quad} \frac{p_1^{(n)}}{\sqrt{n}}, \dots, \frac{p_m^{(n)}}{\sqrt{n}}, \frac{q_1^{(n)}}{\sqrt{n}}, \dots, \frac{q_m^{(n)}}{\sqrt{n}}$.
- et $F(T_{1/\sqrt{n}}(d^{(n)})) = F(d(p, q))$

$\begin{array}{c} p_i \leftarrow p_i^{(n)} / \sqrt{n} \\ q_i \leftarrow q_i^{(n)} / \sqrt{n} \end{array}$
 les géométriques ceux de $d^{(n)}$

Rq : Si F est homogène de degré d , on obtient

$$F(T_{1/\sqrt{n}}(d^{(n)})) = \frac{1}{\sqrt{n}^{d/2}} F(d^{(n)})$$

(Ceci peut s'appliquer aux N_G , mais surtout aux R_k)

- Que veut dire "convergence de diagramme"?

→ Il existe une moléculaire géométrique (on y reviendra après)

→ Or on a des fonctions F (plutôt régulières ...) on peut regarder la convergence des $F(T_{1/\sqrt{n}}(d^{(n)}))$

Si $F \in \text{Vect}(N_G)$, $F(T_{1/\sqrt{n}}(d^{(n)}))$ converge-t-elle ?

Rq : C'est une approche curante en proba, qui ressemble à la convergence faible.

On va voir "assez facilement" (grâce à la compréhension de l'algèbre $\text{Vect}(Ch_\mu) \subsetneq \text{Vect}(N_G)$) que si $F \in \text{Vect}(Ch_\mu)$, alors $F(T_{1/\sqrt{n}}(d^{(n)}))$ converge en loi (ou en proba, et presque sûrement). [les limites vont être déterministes]

On verra aussi que la convergence au sens "géométrique" peut se déduire de la prop ci-dessus.

B). Graduation

Réf. Si $X \in \text{Vect}(N_G)$, on définit

$$\deg(X) := \deg_{p,q}(\delta(p,q))$$

Prop. On a aussi des Rk tq $(R_k)_{k \geq 2}$ est une base algébrique de $\text{Vect}(Ch_\mu)$, et $\deg(R_k) = k$.

Prop. $\deg(Ch_\mu) = |\mu| + l(\mu)$ (taille + nb de parts).

$$\deg(Ch_{(k)}) = k+1$$

$$\deg(Ch_{(k)} - R_{k+1}) \leq k$$

↑ terme dominant (ie de degré max, qui est $k+1$) de $Ch_{(k)}$

en fait, pour des raisons de parité, $\deg(Ch_{(k)} - R_{k+1}) = k+1$

$$\text{de m}, \deg(Ch_\mu - \prod_{i=1}^{l(\mu)} R_{\mu_i+1}) = |\mu| + l(\mu) - 2$$

(?)

Autrement dit, le terme dominant de $Ch_{(2,2)}$ est $R_3 \cdot R_3$

idem pour $Ch_{(k,k)}$ et $R_{k+1} \cdot R_{k+1}$

Cor Si $X \in \text{Vect}(Ch_\mu)$, $X = \sum_\mu q_\mu Ch_\mu$, alors

$$\deg(X) = \max_{\mu: q_\mu \neq 0} |\mu| + l(\mu)$$

Preuve: . $\deg(X) \leq \max_{\mu: q_\mu \neq 0} |\mu| + l(\mu)$ par le résultat sur les degrés des Ch_μ .

. On regarde le terme de degré d = $\max_{\mu: q_\mu \neq 0} |\mu| + l(\mu)$ dans X, noté $hom_d(X)$:

$$hom_d(X) = \sum_{\mu:} a_\mu hom_d(Ch_\mu)$$

composante homogène de degré d

$(|\mu| + l(\mu) = d) \rightarrow hom_d(Ch_\mu)$ est nul pour les autres (sauf si $a_\mu \neq 0$).

$$= \sum_{\mu} a_\mu \underbrace{\prod_{i=1}^{l(\mu)} R_{\mu_i+1}}_{\substack{= \text{son propre } hom_d(\cdot) \\ \text{car au moins un } a_\mu \neq 0}} \neq 0$$

(et R_k base algébrique)

■

C-) Convergence des $F(T_{Y_{\bar{V}_m}}(d^{(n)})$)

Il est facile de calculer l'espérance de Ch_μ sous la mesure de Plancheral

$(\mu + k)$

$$\text{Lemme : } \mathbb{E}_{P_m} (Ch_\mu (d^{(n)})) = \begin{cases} m(m-1) \dots (m-k+1) & \text{si } \mu = (1^k) \\ 0 & \text{sinon} \end{cases}$$

$$\text{Rappel : } Ch_\mu (d) := \begin{cases} m(m-1) \dots (m-k+1) & \frac{\chi^d(\mu 1^{n-k})}{\dim V_d} \text{ si } k \leq n \\ 0 & \text{si } k > n \end{cases}$$

(on a $t_j \in d+m$ et $\mu+k$).

$$\begin{aligned} \text{Preuve : } \mathbb{E}_{P_m} (Ch_\mu (d^{(n)})) & \quad (\text{dans le cas } k \leq n) \\ &= m(m-1) \dots (m-k+1) \mathbb{E}_{P_m} \left(\frac{\chi^d(\mu 1^{n-k})}{\dim V_d} \right) \\ &= m(m-1) \dots (m-k+1) \sum_{d+m} \frac{(\dim V_d)^c}{m!} \frac{\chi^d(\mu 1^{n-k})}{\dim V_d} \\ &= \frac{m(m-1) \dots (m-k+1)}{m!} \underbrace{\sum_{d+m} (\dim V_d) \cdot \chi^d(\mu 1^{n-k})}_{=} \\ &= \text{tr}_{\bigoplus V_d^{\dim V_d}} e(\mu 1^{n-k}) \quad (\text{cf 1^e séance}) \\ &\quad \text{rep. régulière} \\ &= \chi^{\text{reg}}(\mu 1^{n-k}) \\ &= \begin{cases} m(m-1) \dots (m-k+1) & \text{si } \mu 1^{m-k} = 1^m \\ 0 & \text{sinon.} \end{cases} \end{aligned}$$

□

Lemme : Si $X \in \text{Vect}(Ch_\mu)$, alors

$$\mathbb{E}_{P_m} (X(d^{(n)})) = O(n^{\deg(X)/2})$$

Preuve : . C'est vrai pour les Ch_μ par le lemme précédent

$$(\deg = \underset{\text{de } (1^k)}{k} + \underset{\text{taille}}{k} = 2k \text{ et } \mathbb{E} \dots = O(n^k) \text{ si } k \leq n)$$

. Si $X = \sum_{\mu} a_\mu Ch_\mu$ $\deg(X) \geq 2k$ dès que $\mu = (1^k)$ apparaît dans cette somme

$$\begin{aligned} \mathbb{E}_{P_m} (X(d^{(n)})) &= \sum_k a_{(1^k)} m(m-1) \dots (m-k+1) \text{ avec } a_{\mu \neq \emptyset} \\ &= O(n^{\deg(X)/2}) \end{aligned}$$

car $\max_{k: a_{(k)} \neq 0} k \leq \frac{\deg(X)}{2}$. (cf. ng précédente) ■

(46)

Regardons les R_k :

$$\begin{aligned} \mathbb{E}_{P_m} (R_{k+1}(d^{(n)})) &= \mathbb{E}_{P_m} (ch_{(k)}(d^{(n)})) + \mathbb{E}_{P_m} ((R_{k+1} - ch_{(k)})(d^{(n)})) \\ &= \mathbb{E}_{P_m} (ch_{(k)}(d^{(n)})) + O(m^{(k-1)/2}) \end{aligned}$$

$$\mathbb{E}_{P_m} (R_{k+1}(d^{(n)})^2) = \mathbb{E}_{P_m} (ch_{(k,k)}(d^{(n)})) + O(m^k)$$

$$\mathbb{E}_{P_m} (R_{k+1}(T_{1/\sqrt{m}}(d^{(n)})))$$

$$= \frac{1}{m^{(k+1)/2}} \left[\mathbb{E}_{P_m} (ch_{(k)}(d^{(n)})) + O(m^{(k-1)/2}) \right]$$

$$= O(m^{-1}) \text{ si } k \geq 2 \quad (\text{car alors le 1er terme} = 0 \text{ si } k \geq 2) \\ (\text{seul les } \mathbb{E}(ch_{(1,k)}) \text{ sont} \neq 0).$$

$$\text{De m}\hat{\text{e}}, \mathbb{E}_{P_m} (R_{k+1}^2(T_{1/\sqrt{m}}(d^{(n)}))) = O(m^{-1}) \text{ si } k \geq 2$$

Donc la variance de $R_{k+1}^2(T_{1/\sqrt{m}}(d^{(n)}))$ est un $O(n^{-1})$ si $k \geq 2$.

Par un petit lemme de proba, on en déduit que :

Prop: si $k \geq 2$, $R_{k+1}(T_{1/\sqrt{m}}(d^{(n)})) \xrightarrow{P} 0$ (CV en proba).

Rg : pour le cas $k=2$, on a tjs $R_2(T_{1/\sqrt{m}}(d^{(n)})) = 1$.

Cor: Si $F \in \text{Vect}(ch_\mu)$, alors $F(T_{1/\sqrt{m}}(d^{(n)}))$ converge en proba

(car les R_k sont une base algébrique des ch_μ)

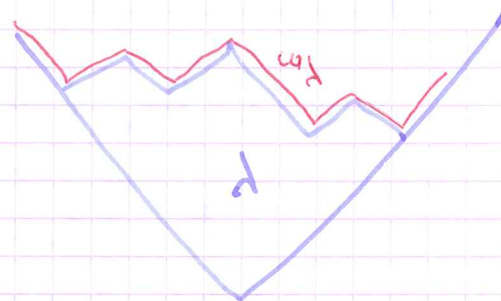
Rg : En calculant le 4^e moment (et pas just le 1^e et 2^e), on peut montrer que la convergence est presque sûre.

Rg : En étudiant tous les moments (plutôt les cumulants en fait), on peut montrer qu'il y a des fluctuation gaussiens.

C'est technique, mais c'est un résultat nouveau obtenu par cette approche.

D.) Convergence géométrique

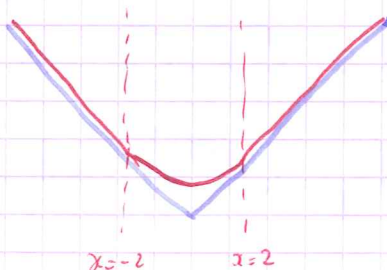
On peut dessiner les diagrammes "à la Ruelle". La frontière supérieure est ainsi le graphe d'une fnct $w_1 : \mathbb{R} \rightarrow \mathbb{R}$



On peut définir de m⁺ $w_{T_{\sqrt{n}}(d^{(n)})} : \mathbb{R} \rightarrow \mathbb{R}$

On définit :

$$\mathcal{S}(\infty) := \begin{cases} |\alpha| \text{ si } |\alpha| \geq 2 & (\text{c'est juste la valeur absolue}) \\ \frac{2}{\pi} \left(\alpha \arcsin\left(\frac{\alpha}{2}\right) + \sqrt{4-\alpha^2} \right) \text{ si } |\alpha| \leq 2 \end{cases}$$



\mathcal{S} est un "diagramme continu"
 \mathcal{S} donne les valeurs limites des diagrammes renormalisés :

. Thm : En proba $\| w_{T_{\sqrt{n}}(d^{(n)})} - \mathcal{S} \|_\infty \rightarrow 0$

. On peut définir $F(\mathcal{S})$ pour $f \in \text{Vect}(Ch_\mu)$.

Un calcul donne $R_2(\mathcal{S}) = 1$

$R_k(\mathcal{S}) = 0$ pour $k \geq 3$

Rq: Pour définir F sur $w : \mathbb{R} \rightarrow \mathbb{R}$ continue, 1-lipschitz

tp $w(x) = |\alpha|$ pour $|\alpha|$ assez grand,

$\forall f \in \text{Vect}(Ch_\mu)$, on le fait sur les t_k :

on pose $r(x) = \frac{w(x) - |\alpha|}{|\alpha|}$

et $t_k(w) = \int_{-\infty}^{+\infty} k(k!) x^{k-2} r(x) dx$.

$\sum x_i^{k-2} y_i^k$

(si $w = w_1$, $t_k(w_1) = t_k(d)$ défini avant de le cours pr)

Rg: ces tk coïncident bien avec les "habituels"
si ω vient d'un diagramme d renormalisé.

Lemme $\exists c > 0$ tpe si $d^{(n)}$ est distribué sous P_n

$$P(d_1^{(n)} \text{ et } l(d^{(n)}) \leq c\sqrt{n}) \rightarrow 1$$

\uparrow \uparrow
1^e part de $d^{(n)}$ nb de parts de $d^{(n)}$
ie longeur d'une
t-suite \nearrow d'une perm

"Tous les diagrammes
restent dans
un compact"

La note de convergence "pour toute fonction" paraît plus
faible, mais en fait non : elle permet de démontrer
la convergence "plus forte", géométrique et uniforme.

Et les résultats pour la 1^e ("faible") note de convergence
sont assez simples à obtenir à partir des résultats sur
Vect (chp).